

TC
ÇANAKKALE ONSEKİZ MART ÜNİVERSİTESİ
FEN BİLİMLERİ ENSTİTÜSÜ
FİZİK ANABİLİM DALI

AÇIK KABUKLU ATOM VE MOLEKÜLLER
İÇİN
HARTREE-FOCK TEORİSİ



90540

YÜKSEK LİSANS TEZİ

Ramazan DEMİR

ÇANAKKALE-1999

T.C. YÜKSEKÖĞRETİM KURULU
DOKÜMANTASYON MERKEZİ

Çanakkale Onsekiz Mart Üniversitesi Fen Bilimleri Enstitüsü Müdürlüğüne,

Bu araştırma jürimiz tarafından Fizik Anabilim Dalında Yüksek Lisans Tezi olarak kabul edilmiştir.

Başkan (Tez Danışmanı) : Prof.Dr. İsrafil HÜSEYİN (GUSEINOV)

Üye : Prof.Dr. Eyüp ÖZDEMİR

Üye : Yrd.Doç.Dr. Ahmet ERDEM

Kod No:

Yukarıdaki imzaların adı geçen öğretim üyelerine ait olduğunu onaylarım.



İÇİNDEKİLER

| | Sayfa |
|---|-------|
| ÖZ | i |
| ABSTRACT | ii |
| SİMGELER VE KISALTMALAR | iii |
| ÇİZELGELER | vi |
| ŞEKİLLER | vii |
| 1. GİRİŞ | 1 |
| 2. ÖNCEKİ ÇALIŞMALAR | 3 |
| 3. MATERİYAL VE YÖNTEM | 4 |
| 3.1 KAPALI KABUKLU ATOM VE MOLEKÜL TEORİSİ | 4 |
| 3.1.1 Atom ve Moleküllere İlişkin Hartree-Fock-Roothaan Denklemleri | 4 |
| 3.1.2 Hartree-Fock-Roothaan Teorisinde Baz Fonksiyonlarının Önemi ve Slater Tipli Atom Orbitallerinin Kullanılmasının Gerekliliği | 7 |
| 3.2 AÇIK KABUKLU ATOM VE MOLEKÜLÜN HARTREE- FOCK-ROOTHAAN TEORİSİ | 11 |
| 3.2.1 Açık Kabuklu Atom ve Moleküller İçin Hartree-Fock (HF) ve Hartree-Fock-Roothaan (HFR) Denklemleri | 11 |
| 3.2.2 Elektron Konfigürasyonu ve Terimler | 17 |
| 3.2.3 Karbon ve Azot İçin Terimlerin ve Dalga Fonksiyonlarının Hesaplanması İçin Guseinov'un Yeni Yöntemi (GUSEINOV, 1999) | 19 |
| 4. ARAŞTIRMA BULGULARI | 38 |
| 4.1 KARBON VE AZOT İÇİN ÇİFTLENİM-İZDÜŞÜM KATSAYILARININ HESAPLANMASI VE BİLGİSAYAR UYGULAMASI | 38 |
| 4.1.1 Karbon ve Azot Açık Kabuklu Atomları İçin Çiftlenim- İzdüşüm A_{kl}^{ij} ve B_{kl}^{ij} Katsayılarının Hesaplanması | 38 |

| | |
|----------------------------|----|
| 5. TARTIŞMA VE SONUÇ | 49 |
| 6. ÖZET | 50 |
| 7. SUMMARY | 51 |
| 8. KAYNAKLAR | 52 |
| TEŞEKKÜR | 54 |
| ÖZGEÇMİŞ | 55 |



ÖZ

Sunulan bu tezde, ilk olarak karbon ve azot atomlarının temel ve uyarılmış elektron konfigürasyonları için \hat{L}^2 , \hat{L}_z , \hat{S}^2 ve \hat{S}_z operatörlerinin özfonksiyonları olan ve determinant dalga fonksiyonlarından oluşan ifadeler ve Çiftlenim-İzdüşüm katsayılarının sayısal değerleri bulunmuştur. Daha sonra, bulunan bu ifade ve değerlerinden faydalananlarak azot atomunun temel terimi, orbital enerjileri ve lineer kombinasyon katsayıları hesaplanmıştır.

Hesaplamların güvenli olması için Virial katsayısı da hesaplanmıştır.

Anahtar Kelimeler: Çiftlenim-İzdüşüm Katsayıları, Hartree-Fock (HF) ve Hartree-Fock-Roothaan (HFR) Teorileri, Slater Atom Orbitalleri, Determinant Dalga Fonksiyonları.

ABSTRACT

In this thesis, it is found that Eigen functions of $\hat{\mathbf{L}}^2$, $\hat{\mathbf{L}}_z$, $\hat{\mathbf{S}}^2$ and $\hat{\mathbf{S}}_z$ operators can be expressed in terms of determinantal wave functions for ground and excited conuguration of Carbon and Nitrogen atom. From this relations and obtained coupling-projection coefficient values, orbital energies and linear combination vefficients were calculated for Nitrogen atom.

Sensitive of calculations is verified by calculation of virial coefficient.

Key words: Coupling-Projection coefficient, Hartree-Fock (HF) and Hartree-Fock-Roothaan (HFR) Theory, Slater Atomic Orbital, Determinantal Wave Functions.

SİMGELER VE KISALTMALAR

Bu çalışmada kullanılan simgeler ve kısaltmalar, açıklamaları ile birlikte aşağıda sunulmaktadır.

| <u>Simge</u> | <u>Açıklama</u> |
|------------------------|--|
| u_i | i numaralı Atom veya Moleküler Orbitali |
| U_i | Determinant Dalga Fonksiyonu |
| χ_p | Slater Atom Orbitali |
| C_{pi} | Lineer Kombinasyon Katsayıları |
| ϵ_i | i Numaralı Atom Orbitalinde veya Moleküler Orbitalinde Bulunan Elektronun Enerjisi |
| S_{pq} | Slater AO'larına Göre Örtme İntegrali |
| F_{pq} | Fock Operatörünün Matris Elemanı |
| H_{pq} | Tek Elektronlu Operatörün Matris Elemanı |
| G_{pq} | İki Elektronlu Operatörün Matris Elemanı |
| J_{pqrs} | Elektronlararası Coulomb Etkileşme Enerjisi (veya Coulomb İntegrali) |
| J_{psrq} | Elektronlararası Değiş-Tokuş Etkileşme Enerjisi (veya Değiş-Tokuş İntegrali) |
| $A_{k\ell}^{ij}$ | Coulomb Çiftlenim (Coupling) Katsayısı |
| $B_{k\ell}^{ij}$ | Değiş-Tokuş Çiftlenim (Exchange Coupling) Katsayısı. |
| ξ | Etkin Çekirdek Yükü |
| $S_{lm}(\theta, \phi)$ | Reel veya Küresel Harmonikler |

| | |
|------------------|--|
| $P_{\ell m }$ | Normalleşmiş Assosiyel Legendre Fonksiyonu |
| E | Açık Kabuklu Atom ve Molekülün Toplam Enerjisi |
| $J_{k\ell}^{ij}$ | Elektronlararası Coulomb Etkileşme İntegrali |
| $K_{k\ell}^{ij}$ | Elektronlararası Değiş-Tokuş Etkileşme İntegrali |
| r_a | Elektronun a Çekirdeğinden Olan Uzaklığı |
| r_{12} | Elektronlararası Mesafe |
| \hat{F}^i | Fock Operatörü |
| \hat{a}^{ij} | Coulomb Çiftlenim-İzdüşüm Operatörü |
| \hat{b}^{ij} | Değiş-Tokuş Çiftlenim-İzdüşüm Operatörü |
| f_i | Altkabukların Elektronlarca Kesirsel Dolma Oranı |
| f_{LS} | Terimin Bozunma Derecesi |
| N | İncelenen Atomun Elektron Sayısı |
| σ | Spin Koordinatı |
| m_s | Spin Kuantum Sayısı |

Kısaltma**AO****MO****SAO****HF****HFR****Açıklama**

Atom Orbitalleri

Moleküler Orbital

Slater Atom Orbitali

Hartree-Fock

Hartree-Fock-Roothaan



ÇİZELGELER

| <u>Çizelge No</u> | <u>Çizelge Adı</u> | <u>Çizelge Sayfası</u> |
|--------------------------|--|-------------------------------|
| Çizelge:3.2.1 | Karbonun Temel Durumunun Slater Yöntemine Göre Hesaplanan Olası Bağımsız Determinant Fonksiyonları | 22 |
| Çizelge: 3.2.2 | Bağımsız Determinant Fonksiyonları Bulma Yöntemi (Guseinov, 1999)'nin Karbonun Temel Durumu İçin Uygulanması | 25 |
| Çizelge: 3.2.3 | Karbonun Temel Durumunun Bağımsız Determinant Fonksiyonları Bulma Yöntemi (Guseinov, 1999)'ne Göre Hesaplanan Bağımsız Determinant Fonksiyonları | 26 |
| Çizelge:3.2.4 | Bağımsız Determinant Fonksiyonları Bulma Yöntemi (Guseinov, 1999)'nin Karbonun Uyarılmış Durumu İçin Uygulanması | 31 |
| Çizelge: 3.2.5 | Karbonun Uyarılmış Durumunun Bağımsız Determinant Fonksiyonları Bulma Yöntemi (Guseinov, 1999)'ne Göre Hesaplanan Bağımsız Determinant Fonksiyonları | 31 |

| | | |
|----------------|---|----|
| Çizelge:3.2.6 | Azotun Temel Durumunun Bağımsız Determinant Fonksiyonları Bulma Yöntemi (Guseinov,1999)'ne Göre Hesaplanan Bağımsız Determinant Fonksiyonları | 33 |
| Çizelge: 4.1.1 | Karbonun Temel Durumu ve 3P Terim Sembolü İçin Hesaplanan Çiftlenim-İzdüşüm Katsayıları | 41 |
| Çizelge: 4.1.2 | Karbonun Uyarılmış Durumu ve 5S Terim Sembolü İçin Hesaplanan Çiftlenim-İzdüşüm Katsayıları | 43 |
| Çizelge: 4.1.3 | Azotun Temel Durumu ve 4S Terim Sembolü İçin Hesaplanan Çiftlenim-İzdüşüm Katsayıları | 45 |
| Çizelge: 4.1.4 | Azotun Temel Durumu İçin Turbo-Pascal 7.0 Diliyle Yazılmış Bilgisayar Programından Bulunan Lineer Kombinasyon Katsayıları | 47 |

ŞEKİL

| Sekil No | Sekil Adı | Sekil Sayfası |
|-----------------|------------------|----------------------|
|-----------------|------------------|----------------------|

| | | |
|-------------|--|----|
| Şekil:3.2.1 | Azot atomunun enerji düzeylerine göre terim sembollerı. | 35 |
|-------------|--|----|



1. GİRİŞ

Teorik fizigin ve bilgisayar teknığının son gelişmeleri atom ve moleküllerin özelliklerini inceleme yönünden yeni gelişmelerin nedeni olmaktadır. Atom ve moleküllerin özelliklerinin teorik incelemeleri kuantum mekaniğinin uygulaması ile ilişkilidir. Atom ve moleküller için kuantum mekaniğinin ilgili denklemlerini çözmek yoluyla sistemin enerji düzeylerini, elektron yükü dağılımını ve diğer özelliklerini incelemek olasıdır.

Atom ve moleküllerin özellikleri Slater Determinant Dalga Fonksiyonları aracılığıyla hesaplanır. Bunun için sistemin herhangi bir özelliğine karşılık gelen operatörün determinant dalga fonksiyonlarına göre matris elemanı hesaplanmalıdır. Bu hesaplamalar sonucu, sistemin fizikal özelliklerini, lineer kombinasyon katsayıları ve operatörleri içeren çok merkezli integraller cinsinden ifade edilir. Böylelikle fizikal özelliklerini hesaplamak için lineer kombinasyon katsayıları, operatörleri ve baz fonksiyonları içeren çok merkezli atom ve moleküler integraller hesaplanmalıdır.

Günümüzde, açık kabuklu atom ve moleküllerin toplam elektron enerjisini ve HF-HFR denklemlerine giren katsayıları, genel olarak bulmak mümkün değildir. Bundan dolayı herhangi bir atom ve molekül için bu katsayıları özel olarak hesaplamak gereklidir. Katsayılar için bulunan tablolardan yararlanarak HFR denklemlerine giren lineer kombinasyon katsayılarını sayısal olarak hesaplamak gereklidir.

Sunulan bu tez üç ana bölümden meydana gelmiştir.

Birinci bölümde, kapalı kabuklu atom ve molekülün HFR teorisinin özetleri ve baz fonksiyonları hakkında bilgi verilmektedir.

İkinci bölümde, açık kabuklu atom ve molekülün HFR teorisi ve elektron konfigürasyonu ve terimler hakkında bilgi verilmektedir.

Üçüncü bölümde ise karbon ve azot atomları için ortaya çıkan A ve B katsayıları bulunmuş ve azot atomunun temel durumu için bilgisayarda HFR denklemleri çözülmüştür.

Sunulan bu tezin amacı, karbon (C) ve azot (N) atomları için orbital enerjileri ve HFR denklemlerine giren katsayıları hesaplamak ve bu katsayılardan yararlanılarak azot atomu için orbital enerjileri ve lineer kombinasyon katsayıları elde etmektir.

2. ÖNCEKİ ÇALIŞMALAR

Kuantum mekaniğinin temel denklemi olan Schrödinger Denklemini çok elektronlu atom ve moleküller için duyarlı çözüebilmek günümüzde olası değildir. Bundan dolayı yaklaşım yöntemleri önerilmektedir. Günümüzde yaklaşım yöntemlerinden Hartree-Fock (HF) Yöntemi ve bu yöntemin özel bir durumu olan Hartree-Fock-Roothaan (HFR) Yöntemi yaygın biçimde kullanılmaktadır (ROOTHAN1951 ve 1960).

HF yöntemine göre çok elektronlu sistemin toplam dalga fonksiyonu Slater Determinantları olarak uygulanabilir. Slater Determinant Dalga Fonksiyonları, tek elektronlu atom spin orbitalı ya da moleküller spin orbitalinden oluşturulur. Bu orbitallerin elektronun kartezyen koordinatlarına bağlı olan kısmı yani atom ve moleküller orbitalleri, HF denklemleri çözülmerek elde edilir. HFR yönteminde ise atom ve moleküller orbitaller baz fonksiyonlarının (Slater Atom Orbitalleri, Gauss Atom Orbitalleri vs.) lineer kombinasyonları ile belirtilir. Lineer kombinasyon katsayıları ise HFR denklemlerini çözmek amacıyla bulunur.

3. MATERİYAL VE YÖNTEM

3.1 KAPALI KABUKLU ATOM VE MOLEKÜL TEORİSİ

3.1.1 Atom ve Moleküllere İlişkin Hartree-Fock-Roothaan (HFR) Denklemleri

Teorik hesaplamaların deneysel sonuçlarla kıyaslanması sonucu; atom ve moleküler orbitalleri Slater Atom Orbitalı (SAO) tipli baz fonksiyonlarının lineer kombinasyonundan oluşturmak daha avantajlı görülmektedir (GASIOROWICZ, 1991). Bundan dolayı, i atom orbital numarasını göstermek üzere u_i atom ve moleküler orbitali,

$$u_i = \sum_p \chi_p C_{pi} \quad (3.1.1)$$

birimde ifade edilir. Burada baz fonksiyonu χ_p Slater tipli atom orbitali ve p , $p \equiv n \ell m$ olarak tanımlıdır. n baş kuantum sayısı, ℓ orbital kuantum sayısı, m magnetik kuantum sayısıdır. C_{pi} lineer kombinasyon katsayılarıdır.

Yukarıda yazıldığı biçimde (3.1.1) denklemi ile belirtilen orbital, determinant dalga fonksiyonunun elemanlarıdır (bkz. denklem (3.2.33-a)). C_{pi} katsayıları, determinant dalga fonksiyonuna göre atom veya molekülün Hamilton operatörünün beklenen değerinin yani toplam enerjisinin minimum olması koşulu ile bulunabilir. Kapalı kabuklu atom ve moleküller için C_{pi} katsayıları, aşağıda verilen ve enerjinin minimum olma koşulunu taşıyan HFR denklemleri kullanılarak hesaplanmaktadır (ROOTHAAN, 1951):

$$\sum_q (F_{pq} - \varepsilon_i S_{pq}) C_{qi} = 0 \quad (3.1.2)$$

Burada ε_i i numaralı atom orbitalinde veya moleküler orbitalinde bulunan elektronun enerjisidir. S_{pq} , Slater AO'larına göre örtme integrali olup (SLATER, 1960) aşağıdaki biçimde tanımlanır:

$$S_{pq} = \int \chi_p \chi_q dV \quad (3.1.3)$$

Burada q, p gibidir yani $q=n^l l^m$ dür.

(3.1.2) denklemindeki F_{pq} terimi iki terimin toplamıdır:

$$F_{pq} = H_{pq} + G_{pq} \quad (3.1.4)$$

Burada F_{pq} Fock operatörün, H_{pq} tek elektronlu operatörün, G_{pq} ise iki elektronlu operatörün matris elemanları olup aşağıdaki denklemlerle gösterilirler (ROOTHAAN,1951):

$$H_{pq} = \int \chi_p \left[-\frac{1}{2} \nabla^2 - \sum_a \frac{Z_a}{r_a} \right] \chi_q dV \quad (3.1.5)$$

$$G_{pq} = \sum_j \sum_{rs} C_{rj} C_{sj} (2J_{pqrs} - J_{psrq}) \quad (3.1.6)$$

$$J_{pqrs} = \int \chi_p(1) \chi_q(1) \frac{1}{r_{12}} \chi_r(2) \chi_s(2) dV_1 dV_2 \quad (3.1.7)$$

Burada Z_a , a çekirdeğinin atom numarası; C_{rj} , r indisli Slater Atom Orbitalle ilgili j.lineer kombinasyon; C_{sj} , s indisli Slater Atom Orbitalle ilgili j.lineer kombinasyon; J_{pqrs} , elektronlararası Coulomb etkileşme enerjisi (veya Coulomb İntegralı); J_{psrq} , elektronlararası değişim-tokuş (exchange) etkileşme enerjisi (veya değişim-tokuş integrali); r_a , elektronun a çekirdeğinden olan uzaklığı; r_{12} ise elektronlararası mesafe; dV_1 , 1. elektronun hacim elemanı; dV_2 , 2. elektronun hacim elemanıdır. (3.1.5) denklemindeki toplam, çekirdekler üzerinden yapılır.

Atom durumunda, sistemin bir tane çekirdeği olduğu için (3.1.5) denklemde toplam alınmaz. (3.1.6) formülünde j kapalı orbitalleri gösteren indistir. (3.1.7) formülü ile belirlenen integral, elektronlararası Coulomb etki integralidir. q ve s indislerini yerdeğiştirmekle (3.1.6) formülündeki J_{psrq} değişim-tokuş etkileşme (enerji) integralleri bulunabilir.

Moleküler durumlarda yukarıdaki formüllerde χ_p , χ_q , χ_r ve χ_s merkezleri sırasıyla p, q, r ve s atomlarında olan Slater orbitalleridir. Bundan dolayı (3.1.7) integrallerine çok merkezli integraller de denir. Atom durumunda bu merkezlerin hepsinin aynı olmasından dolayı (3.1.7) ifadesine bir merkezli atom integrali denir.

(3.1.2) denklemler sisteminden görüldüğü gibi C_{pi} katsayılarını ve ε_i orbital enerjilerini bulmak için S_{pq} ve F_{pq} integrallerini hesaplamak gereklidir. Bu integrallerin hesaplanması, atom ve moleküllerin kuantum mekaniğinde çözümnesi zor olan problemlerden birisidir. Bu problemlerin çözümü için yeni yöntemler geliştirilmektedir. Böylece S_{pq} ve F_{pq} integrallerini hesaplamakla (3.1.2) denklemler sisteminden C_{pi} katsayılarının sayısal değerleri bulunabilir.

Kapalı kabuklu atom ve moleküller için sadece bir tane determinant dalga fonksiyonu kullanılmaktadır. Böylece (3.1.2) denklemler sisteminden bulunan C_{pi} katsayılarının sayısal değerleri (3.1.1) formülünde yerine konursa atom ve moleküler orbitaler bulunmuş olur. Başka bir deyişle kapalı kabuklu sistemin determinant dalga fonksiyonu C_p katsayıları aracılığıyla hesaplanabilir. Determinant dalga fonksiyonunun belli olması, kapalı sistemin özelliklerini görmek anlamına gelir.

3.1.2 Hartree-Fock-Roothaan Teorisinde Baz Fonksiyonlarının Önemi ve Slater Tipli Atom Orbitallerinin Kullanılmasının Gerekliliği

Atom ve moleküler orbitaleri, fiziksel açıdan Slater fonksiyonlarının lineer kombinasyonları ile ifade etmek mantıklıdır. Bunun nedeni, başka tip orbitalerden farklı olarak, Slater fonksiyonlarının atomların özelliklerini daha iyi ifade etmesidir. Slater (SLATER, 1960) periyodik tabloya giren atomlar ve onların iyonlarının çeşitli özelliklerini araştırmada hidrojene benzer atomun dalga fonksiyonunun polinom şeklindeki ifadesindeki en yüksek mertebeli terimin kullanılmasının yararlı olduğunu göstermiştir. Başka bir deyişle, yaklaşık olarak atomların özelliklerini araştırırken;

$$\chi_{nlm}\left(\xi, \vec{r}\right) = (2\xi)^{\frac{n+1}{2}} [(2n)!]^{-\frac{1}{2}} r^{n-1} e^{-\xi r} S_{lm}(\theta, \phi) \quad (3.1.8)$$

formülü ile ifade olunan tek elektronlu dalga fonksiyonundan faydalananmak gereklidir. Burada ξ etkin çekirdek yükü, n ise etkin başkuantum sayısıdır. Gerçek başkuantum sayısı belli olunca etkin başkuantum sayısını (n) ve etkin çekirdek yükünü (ξ) bulmak için Slater yarı deneyel kurallar önermiştir (SLATER, 1960) (“Slater Kuralları”).

Slater kurallarından faydalananarak herhangi bir atomun ve iyonu için ξ ve n sabitlerini bulmak mümkündür. Böylece herhangi bir atomun herbir elektronu için Slater orbitaline ait olan n ve ξ katsayılarının belli değerlerinde (3.1.8) formülünden faydalanjılır.

$S_{lm}(\theta, \phi)$ ise reel veya kompleks küresel harmonik fonksiyon; r, θ, ϕ elektronun küresel koordinatlarıdır.

Atom ve molekülün kuantum mekaniğinde reel küresel harmonik fonksiyonlardan yararlanmak avantajlıdır. Bu fonksiyonun ifadesi

$$S_{lm}(\theta, \phi) = (\pi(1 + \delta_{mo}))^{-\frac{1}{2}} P_{\ell|m|}(\cos \theta) \begin{cases} \cos|m|\phi, & \text{eğer } m \geq 0 \\ \sin|m|\phi, & \text{eğer } m < 0 \end{cases} \quad (3.1.9)$$

birimde verilir.

Burada $P_{\ell|m|}$ normalleşmiş assosiyel Legendre fonksiyonudur:

$$P_{\ell|m|}(x) = \frac{1}{2^\ell \ell!} \left[\frac{2\ell+1}{2} \frac{(\ell - |m|)!}{(\ell + |m|)!} \right]^{\frac{1}{2}} (1 - x^2)^{\frac{|m|}{2}} \frac{d^{\ell+|m|}}{dx^{\ell+|m|}} (x^2 - 1)^\ell \quad (3.1.10)$$

(3.1.9) ile ifade olunan reel küresel harmonik fonksiyon, ortonormalite özelliğine sahip, yani

$$\int_0^{\pi} \int_0^{2\pi} S_{\ell m}(\theta, \phi) S_{\ell' m'}(\theta, \phi) \sin \theta d\theta d\phi = \delta_{\ell \ell'} \delta_{m m'} \quad (3.1.11)$$

dir. Kolayca Slater Orbitalinin yalnızca ℓ ve m kuantum sayılarına göre ortogonal olduğu ancak n kuantum katsayısına göre ortogonal olmadığı gösterilebilir. Bundan dolayı, ortonormalite özelliği ifade eden formülde,

$\delta_{n n'}$ simbolü yer almaz. Bu nedenle Slater orbitaleri için ortogonalilik koşulu

$$\int \chi_{n\ell m}(\xi; \mathbf{r}, \theta, \phi) \chi_{n'\ell' m'}(\xi'; \mathbf{r}, \theta, \phi) dV = \frac{(n+n')!}{\sqrt{(2n)!(2n')!}} (1+t)^{\frac{n+1}{2}} (1-t)^{\frac{n'+1}{2}} \delta_{\ell\ell'} \delta_{mm'} \quad (3.1.12)$$

ile verilir.

Burada $t = (\xi - \xi') / (\xi + \xi')$ dir.

Slater atom orbitalerinin hesaplanması matematiksel açıdan zordur. Bunun nedeni, Slater orbitalerine bağlı çok merkezli moleküler integrallerin ortaya çıkmasıdır. Bu integrallerin bulunan ifadelerine göre bilgisayar hesaplama programlarının yapılması belli problemlerin ortayamasına neden olabilir. Bundan dolayı, atom ve molekülün kuantum mekanığında Gauss tipli orbital uygulanmaktadır. Gauss orbitaleri fiziksel açıdan atomların özelliklerini çekirdeğe çok yakın ve çok uzak durumlarda yanlış olarak karakterize eder. Fakat Gauss fonksiyonları kullanılarak çok merkezli integrallerin kolayca hesaplanması dolayısıyla 1950'li yillardan bu yana Gauss fonksiyonları yaygın bir biçimde kullanılmaktadır. Ancak, çok merkezli integrallerin hesaplanması kolaylık veren Gauss fonksiyonları, atomun özelliklerini çok kabaca vermektedir. Bundan dolayı Gauss fonksiyonları bazında lineer kombinasyon katsayılarının sayısal değerlerinden faydalılarak bazı atom ve moleküllerin özelliklerini incelerken literatürde belli sakıncalar ortaya çıkar. Bu yüzden, yazarlar zaman zaman Gauss baz fonksiyonlarından vazgeçmeye çalışmış ve Slater baz fonksiyonları için yeni yöntemler geliştirmeye çalışmışlardır. Ancak, günümüzde çok merkezli integrallerde ortaya çıkan zorluklar kısmen ortadan kaldırılmıştır. Bu nedenle atom ve molekülün kuantum

mekanığında çalışan araştırmacılar, yeniden Gauss baz fonksiyonlarını tercih etmek zorunda kalmışlardır. Bununla birlikte, son zamanlarda, Slater tipi atom orbitallerini içeren çok merkezli integrallerin hesaplanmasında yeni gelişmeler bulunmuştur (GUSEINOV, 1997). Sonuç olarak atom ve molekülün kuantum mekanığında Gauss fonksiyonlarından değil Slater fonksiyonlarından yarar sağlamak umud edilmektedir.

3.2 AÇIK KABUKLU ATOM VE MOLEKÜLÜN HARTREE-FOCK-ROOTHAAN TEORİSİ

3.2.1 Açık Kabuklu Atom ve Moleküller İçin Hartree-Fock (HF) ve Hartree-Fock-Roothaan (HFR) Denklemleri

Açık kabuklu atom ve moleküller için son zamanlarda HF teorisinde yeni gelişmeler sağlanmaktadır. HF teorisinin daha önceki ifadelerinden (ROOTHAAN, 1960) farklı olarak yeni ifadesinde (GUSEINOV, 1998 b) kapalı ve açık kabukları içeren birleşik denklemler bulunmuştur. Guseinov Yönteminde (GUESINOV, 1998 a) toplam enerjisi ve varyasyon ilkesinin uygulanması sonucu bulunan HF denklemlerine A ve B çiftlenim katsayıları dahil edilir. Sunulan bu tezde, Guseinov Yöntemi (GUSEINOV, 1999) kullanılarak karbon ve azot atomları için A ve B katsayıları bulunmuştur.

Açık kabuklu atom ve molekülün toplam enerjisinin ifadesi, Guseinov (GUSEINOV, 1998 b) tarafından aşağıdaki biçimde

$$E = 2 \sum_i^n f_i H_i + \sum_{i,j, k,\ell}^n \left[2(A_{k,\ell}^{ij})^* J_{k,\ell}^{ij} - (B_{k,\ell}^{ij})^* K_{k,\ell}^{ij} \right] \quad (3.2.1)$$

verilmektedir.

Burada $n = n_c + n_o$ eşitliğindeki n elektronlar tarafından tutulan orbitallerin toplam sayısı, n_c ve n_o ise elektronların yerlestiği kapalı ve açık kabuklardaki orbitallerin sayısıdır. f_i i numaralı kabuğun kesirsel doluluk oranıdır. $A_{k,\ell}^{ij}$ ve $B_{k,\ell}^{ij}$ ise dört indisli Coulomb ve Değiş-Tokuş Çiftlenim (Exchange Coupling) sabitleridir.

(3.2.1) formülündeki $A_{k,\ell}^{ij}$ ve $B_{k,\ell}^{ij}$ katsayıları, açık kabuklu elektronları içermeyen orbitaller için basitçe

$$\mathbf{A}_{k\ell}^{ij} = \mathbf{B}_{k\ell}^{ij} = \mathbf{f}_i \mathbf{f}_k \delta_{ij} \delta_{k\ell} \quad (3.2.2)$$

ifadesine sahiptir.

Burada $1 \leq i \leq n_c$, $1 \leq j \leq n_c$, $1 \leq k \leq n$, $1 \leq l \leq n$, $1 \leq i \leq n$, $1 \leq j \leq n$,

$1 \leq k \leq n_c$, $1 \leq l \leq n_c$ dir.

(3.2.1) denklemindeki H_i sistemin Hamilton operatörünün bir elektronlu kısmının, $J_{k\ell}^{ij}$ ve $K_{k\ell}^{ij}$ ise iki elektronlu kısmının matris elemanıdır ve elektronlararası Coulomb ve değiş-tokuş etkileşme integralleridir (GUSEINOV,1998 a ve b). H_i , $J_{k\ell}^{ij}$ ve $K_{k\ell}^{ij}$ operatörleri aşağıdaki ifadelere sahiptirler:

$$H_i = \int u_i^*(\vec{r}_i) \hat{H} u_i(\vec{r}_i) dV_1, \quad \hat{H} = -\frac{1}{2} \nabla_1^2 - \sum_a \frac{\mathbf{Z}_a}{\mathbf{r}_{a1}} \quad (3.2.3)$$

$$J_{k\ell}^{ij} = \iint u_i^*(\vec{r}_1) u_k^*(\vec{r}_2) \frac{1}{\mathbf{r}_{12}} u_j(\vec{r}_1) u_l(\vec{r}_2) dV_1 dV_2 \quad (3.2.4)$$

$$K_{k\ell}^{ij} = \iint u_i^*(\vec{r}_1) u_k^*(\vec{r}_2) \frac{1}{\mathbf{r}_{12}} u_l(\vec{r}_1) u_j(\vec{r}_2) dV_1 dV_2 \quad (3.2.5)$$

Burada \mathbf{u}_i ($i=1,2,\dots,n$) kapalı ve açık kabukların kartezyen koordinatlara bağlı atom veya moleküler orbitalleridir. Bu orbitaller, ortonormallik özelliğine sahiptirler:

$$\int \mathbf{u}_i^* \mathbf{u}_s d\mathbf{V} = \delta_{is} \quad (3.2.6)$$

(3.2.3), (3.2.4) ve (3.2.5) ifadeleri (3.2.1)'de dikkate alındığında sistemin toplam enerjinin belli olmayan \mathbf{u}_i orbitallerine bağlı olduğu kolayca görülebilir. Bundan dolayı varyasyon ilkesi (3.2.1) ifadesine giren \mathbf{u}_i orbitallerine uygulanmalıdır. Bu durumda \mathbf{u}_i orbitallerini bulmak için, açık kabuklu sistemin aşağıdaki HF denklemleri bulunur (GUSEINOV, 1998 b):

$$\hat{\mathbf{F}}^i \mathbf{u}_i = \varepsilon_i \mathbf{u}_i \quad (3.2.7)$$

Burada Fock Operatörü olarak adlandırılan $\hat{\mathbf{F}}^i$ operatörünün ifadesi aşağıdaki biçimdedir:

$$\hat{\mathbf{F}}^i = \mathbf{f}_i \hat{\mathbf{H}} + \hat{\mathbf{G}}^i \quad (3.2.8)$$

$$\hat{\mathbf{G}}^i = \sum_{jk\ell} \left[2(\hat{\mathbf{A}}_{k\ell}^{ij})^* \hat{\mathbf{J}}_{k\ell} - (\hat{\mathbf{B}}_{k\ell}^{ij})^* \hat{\mathbf{K}}_{k\ell} \right] \quad (3.2.9)$$

Burada $\hat{\mathbf{A}}_{\mathbf{k}\ell}^{ij}$ ve $\hat{\mathbf{B}}_{\mathbf{k}\ell}^{ij}$ operatörleri, \mathbf{u}_i orbitalinin indisini değiştiren Coulomb ve Değiş-Tokuş Çiftlenim-İzdüşüm operatörleri yani (GUSEINOV,1998 b):

$$\hat{\mathbf{A}}_{\mathbf{k}\ell}^{ij} \mathbf{u}_i = \mathbf{A}_{\mathbf{k}\ell}^{ij} \mathbf{u}_j \quad (3.2.10)$$

$$\hat{\mathbf{B}}_{\mathbf{k}\ell}^{ij} \mathbf{u}_i = \mathbf{B}_{\mathbf{k}\ell}^{ij} \mathbf{u}_j \quad (3.2.11)$$

dir. (3.2.9) eşitliğindeki $\hat{\mathbf{J}}_{\mathbf{k}\ell}$ ve $\hat{\mathbf{K}}_{\mathbf{k}\ell}$ operatörleri Coulomb ve değiş-tokuş operatörleri olarak adlandırılırlar (GUSEINOV,1998 b) ve aşağıdaki ifadelere sahiptirler:

$$\hat{\mathbf{J}}_{\mathbf{k}\ell}(\vec{\mathbf{r}}_1) \varphi(\vec{\mathbf{r}}_1) = \left(\int \frac{\mathbf{u}_k^*(\vec{\mathbf{r}}_2) \mathbf{u}_\ell(\vec{\mathbf{r}}_2)}{\mathbf{r}_{12}} dV_2 \right) \varphi(\vec{\mathbf{r}}_1) \quad (3.2.12)$$

$$\hat{\mathbf{K}}_{\mathbf{k}\ell}(\vec{\mathbf{r}}_1) \varphi(\vec{\mathbf{r}}_1) = \left(\int \frac{\mathbf{u}_k^*(\vec{\mathbf{r}}_2) \varphi(\vec{\mathbf{r}}_2)}{\mathbf{r}_{12}} dV_2 \right) \mathbf{u}_1(\vec{\mathbf{r}}_1) \quad (3.2.13)$$

$\mathbf{A}_{\mathbf{k}\ell}^{ij}$, $\mathbf{B}_{\mathbf{k}\ell}^{ij}$, $\mathbf{J}_{\mathbf{k}\ell}$ ve $\mathbf{K}_{\mathbf{k}\ell}$ süpermatrisleri, \mathbf{u}_i reel orbitalleri durumunda aşağıdaki özelliklere sahiptirler:

$$\Lambda_{\mathbf{k}\ell}^{ij} = \Lambda_{ij}^{k\ell}, \quad (\Lambda_{\mathbf{k}\ell}^{ij})^+ = (\Lambda_{\mathbf{k}\ell}^{ij})^* = \Lambda_{\mathbf{k}\ell}^{ij} \quad (3.2.14)$$

$$\Lambda_{\mathbf{k}\ell}^{ij} = \Lambda_{\mathbf{k}\ell}^{ji} = \Lambda_{\ell\mathbf{k}}^{ij} \quad (3.2.15)$$

Burada $\Lambda_{k\ell}^{ij} = \mathbf{A}_{k\ell}^{ij}$, $\Lambda_{k\ell}^{ij} = \mathbf{B}_{k\ell}^{ij}$, $\Lambda_{k\ell}^{ij} = \mathbf{J}_{k\ell}^{ij}$ ya da
 $\Lambda_{k\ell}^{ij} = \mathbf{K}_{k\ell}^{ij}$ dir.

Böylece (3.2.1) toplam enerjisinin minimum olması için (3.2.7) HF denklemelerini çözmekle bulunan \mathbf{u}_i orbitallerine göre \mathbf{H}_i , $\mathbf{J}_{k\ell}^{ij}$ ve $\mathbf{K}_{k\ell}^{ij}$ integralleri hesaplanarak (3.2.1) formülünde dikkate alınır.

Böylece HF teorisini kullanarak HFR yöntemine göre denklemeler bulmak kolaydır. Bu amaçla (3.1.1) ifadesi (3.2.7) denklemelerinde dikkate alınmalıdır. Önce \mathbf{C}_{pi} lineer kombinasyon katsayıları için HFR denklemler sistemi bulunur (GUSEINOV, 1998 b):

$$\sum_q (\hat{\mathbf{F}}_{pq}^i - \varepsilon_i S_{pq}) \mathbf{C}_{pi} = \mathbf{0} \quad (3.2.16)$$

Burada S_{pq} örtme integralleridir (bkz: denklem (3.1.3)).

$\hat{\mathbf{F}}^i$ operatörünün ifadesi ise (GUSEINOV, 1998 b):

$$\hat{\mathbf{F}}_{pq}^i = \mathbf{f}_i \mathbf{H}_{pq} + \hat{\mathbf{G}}_{pq}^i \quad (3.2.17)$$

birimde olup \mathbf{H}_{pq} ve $\hat{\mathbf{G}}_{pq}^i$ operatörleri aşağıdaki biçimde verilirler:

$$\mathbf{H}_{pq} = \int \chi_p^* \left(-\frac{1}{2} \nabla_1^2 - \sum_a \frac{\mathbf{Z}_a}{\mathbf{r}_{a1}} \right) \chi_q dV_1 \quad (3.2.18)$$

$$\hat{\mathbf{G}}_{pq}^i = \sum_{rs} \left[2(\hat{\mathbf{a}}_{rs}^{ij})^* \mathbf{I}_{pq}^{rs} - (\hat{\mathbf{b}}_{rs}^{ij})^* \mathbf{K}_{pq}^{rs} \right] \quad (3.2.19)$$

(3.2.19) formülündeki $\hat{\mathbf{a}}_{rs}^{ij}$ ve $\hat{\mathbf{b}}_{rs}^{ij}$ Coulomb ve Değiş-Tokuş Çiftlenim-İzdüşüm Operatörleri olup aşağıdaki ifadelere sahiptirler:

$$\hat{\mathbf{a}}^{ij} = \mathbf{C} \hat{\mathbf{A}}^{ij} \mathbf{C}^+ \quad (3.2.20)$$

$$\hat{\mathbf{b}}^{ij} = \mathbf{C} \hat{\mathbf{B}}^{ij} \mathbf{C}^+ \quad (3.2.21)$$

(3.2.19) eşitliğindeki \mathbf{I}_{pq}^{rs} ve \mathbf{K}_{pq}^{rs} Coulomb ve Değiş-Tokuş Etkileşme İntegralleri olup aşağıda verilmektedir:

$$\mathbf{I}_{pq}^{rs} = \iint \frac{\chi_r^*(\vec{r}_1) \chi_p^*(\vec{r}_2) \chi_s(\vec{r}_1) \chi_q(\vec{r}_2)}{r_{12}} dV_1 dV_2 \quad (3.2.22)$$

$$\mathbf{K}_{pq}^{rs} = \mathbf{I}_{ps}^{rq} \quad (3.2.23)$$

$\hat{\mathbf{a}}^{ij}$ ve $\hat{\mathbf{b}}^{ij}$ Çiftlenim-İzdüşüm operatörleri için

$$\hat{\mathbf{a}}^{ij} \mathbf{C}_{qi} = \mathbf{a}^{ij} \mathbf{C}_{qi} \quad (3.2.24)$$

$$\hat{\mathbf{b}}^{ij} \mathbf{C}_{qi} = \mathbf{b}^{ij} \mathbf{C}_{qi} \quad (3.2.25)$$

eşitlikleri geçerlidir.

Hazırlanan bu tezde (3.2.1), (3.2.20) ve (3.2.21) formüllerine giren A_{kl}^{ij} ve B_{kl}^{ij} katsayıları, karbon ve azot atomları için, “Araştırma Bulguları” bölümünde hesaplanmaktadır.

3.2.2 Elektron Konfigürasyonu ve Terimler

HF teorisinin temelinde atom ve moleküller için çekirdeklerin oluşturduğu elektrik alanının elektronlar tarafından perdelenmesi yaklaşımı vardır. Diğer bir deyişle, elektronlararası Coulomb etkileşme potansiyelinin büyük bir kısmının çekirdeğin oluşturduğu elektrik alan potansiyeline eklenmesiyle elektronlararası Coulomb etkileşme enerjisi azaltılır. Bu durumda elektronlararası kalan etkileşme enerjisi perturbasyon olarak kabul edilebilir.

“Küçük” etkileşme enerjisi boşlamanca, atom ve moleküllerin bağımsız elektron modeli kurulabilir. Serbest elektron modeline göre bağımsız elektronlar çekirdeklerin perdelenmiş Coulomb alanında hareket etmektedirler. Bu durumda enerji düzeyleri üzerinden Pauli ilkesi uyarınca elektronların dağıtıılması sonucu, sistemin elektron konfigürasyonu bulunmuş olur. Böylece elektron konfigürasyonu olarak çekirdeklerin perdelenmiş elektrik alanında hareket eden “bağımsız” elektronların bulunduğu enerji seviyeleri topluluğu, sistemin elektron konfigürasyonunu verebilmektedir.

Sistemin elektron konfigürasyonu, herhangi bir düzeyden bozunuma uğrayabilir. Elektronlararası “kalan” etkileşme dikkate alınırsa elektron konfigürasyonunda bulunan bozunma tamamen ya da kısmen yarılmaya neden olur. Yarılmalardan bulunan yeni enerji düzeyleri atomun ya da molekülün terimleri olarak adlandırılır. Atomlar için bulunan bu terimler, aşağıda incelenecektir.

Atomda küresel simetriden dolayı elektron konfigürasyonundan bulunan terimin bozunma derecesi toplam orbital ve toplam spin kuantum sayılarına göre belirlenebilir. L ve S nin belirli değerlerinde terimin bozunma derecesi

$$f_{LS} = (2L + 1)(2S + 1) \quad (3.2.26)$$

formülüyle bulunabilir. Örneğin karbon atomunun temel durumuna karşılık gelen $1s^2 2s^2 2p^2$ elektron konfigürasyonu için L ve S lerin üç tür değeri vardır. Bundan dolayı karbon atomunun temel elektron konfigürasyonu kullanılarak bulunan dejener derecesi denklem (3.2.26)'e göre üç tür terimdir. Böylelikle elektron konfigürasyonundan bulunan terimlerin dalga fonksiyonları \hat{L}^2 , \hat{L}_z , \hat{S}^2 ve \hat{S}_z operatörlerinin özfonsiyonları

$$\hat{L}^2 \Psi_{M_L M_S}^{LS} = \hbar^2 L(L + 1) \Psi_{M_L M_S}^{LS}, \quad (3.2.27)$$

$$\hat{L}_z \Psi_{M_L M_S}^{LS} = \hbar M_L \Psi_{M_L M_S}^{LS}, \quad (3.2.28)$$

$$\hat{S}^2 \Psi_{M_L M_S}^{LS} = \hbar^2 S(S + 1) \Psi_{M_L M_S}^{LS} \text{ ve} \quad (3.2.29)$$

$$\hat{S}_z \Psi_{M_L M_S}^{LS} = \hbar M_S \Psi_{M_L M_S}^{LS} \quad (3.2.30)$$

dir. Terimlerin dalga fonksiyonları ortonormallik özelliğine de sahip olup

$$\int \Psi_{M_L M_S}^{LS} * \Psi_{M'_L M'_S}^{L'S'} d\tau = \delta_{LL'} \delta_{SS'} \delta_{M_L M'_L} \delta_{M_S M'_S} \quad (3.2.31)$$

dir. Burada sistemin elektronlarının spin koordinatları üzerinden toplam alınmalı ve kartezyen koordinatları üzerinden integralleme yapılmalıdır.

Elektron konfigürasyonunun bozunma derecesine eşit sayıda determinant dalga fonksiyonları hesaplanmalıdır. Terimlerin $\Psi_{M_L M_S}^{LS}$ dalga fonksiyonları, U_i determinantlarının lineer kombinasyonlarından oluşmaktadır:

$$\Psi_{M_L M_S}^{LS} = \sum_i a_i U_i \quad (3.2.32)$$

Bu şekilde açık kabuklu atomun elektron konfigürasyonu belli olunca $\Psi_{M_L M_S}^{LS}$ dalga fonksiyonları bulunabilir. Örneğin karbon atomunun temel $1s^2 2s^2 2p^2$ elektron konfigürasyonu için bozunma derecesi $f=15$ dir. Bulunan yarılmaların sayısı ise üçtür. Yani bu elektron konfigürasyonundan dejenere mertebesi $f=9$ için 3P , $f=5$ için 1D ve $f=1$ için 1S terimleri bulunacaktır.

3.2.3 Karbon ve Azot İçin Terimlerin ve Dalga Fonksiyonlarının Hesaplanması İçin Guseinov'un Yeni Yöntemi (GUSEINOV, 1999)

Atom ve molekülün toplam enerjisinde ve HF ve HFR denklemlerinde var olan Çiftlenim-İzdüşüm katsayılarını bulmak için önce terimin U_i determinant dalga fonksiyonlarının lineer kombinasyonundan oluşan $\Psi_{M_L M_S}^{LS}$ dalga fonksiyonları bulunmalıdır. Bunun için elektron konfigürasyonunun bozunma derecesi sayısında bağımsız determinant dalga fonksiyonlarının ifadeleri bulunmalıdır. Sunulan bu tezde bağımsız determinant dalga fonksiyonlarının bulunması için Slater'in önerdiği yöntem (SLATER, 1960) modifikasyon (GUSEINOV, 1998 a ve b) yaparak

uygulandı. Bu uygulama açık kabuklu elektronlar üzerindedir (Bkz: Çizelge:3.2.1 ve 3.2.2).

Hesaplamada önce elektron konfigürasyonuna ait olan determinant topluluğu son iki sütunları birbirlerinden farklı olan bir tane determinant olarak yazılır (bundan önceki sütunlar kapalı tabakalara aittir):

$$U_i = \frac{1}{\sqrt{N!}} \begin{vmatrix} u_{n_1}(x_1) & u_{n_2}(x_1) & \dots & u_{n_N}(x_1) \\ u_{n_1}(x_2) & u_{n_2}(x_2) & \dots & u_{n_N}(x_2) \\ \vdots & & & \vdots \\ \vdots & & & \vdots \\ u_{n_1}(x_N) & u_{n_2}(x_N) & \dots & u_{n_N}(x_N) \end{vmatrix} \quad (3.2.33-a)$$

$$\mathbf{n} = n \ell m_\ell m_s, \quad \mathbf{x} = \mathbf{xyz}\sigma \text{ dir.}$$

Burada n : Başkuantum sayısı, ℓ = Orbital (yörüngesel) kuantum sayısı, m_ℓ = Magnetik kuantum sayısı ve m_s = Spin kuantum sayısıdır.

x, y, z kartezyen koordinatları ve σ = spin koordinatı, N ise incelenen atomun elektron sayısıdır.

(3.2.33-a) denklemini elektronlarının sayısı $N=6$ olan karbon atomunun temel $1s^2 \ 2s^2 \ 2p^2$ konfigürasyonuna uygulayalım. Bu konfigürasyon için $f=15$ tane determinant dalga fonksiyonları hesaplanmalıdır.

$$U_i = \frac{1}{\sqrt{6!}} \begin{vmatrix} u_{100\frac{1}{2}}(x_1) & u_{100-\frac{1}{2}}(x_1) & u_{200\frac{1}{2}}(x_1) & u_{200-\frac{1}{2}}(x_1) & u_{21m_1m_s}(x_1) & u_{21m'_1m'_s}(x_1) \\ u_{100\frac{1}{2}}(x_2) & u_{100-\frac{1}{2}}(x_2) & u_{200\frac{1}{2}}(x_2) & u_{200-\frac{1}{2}}(x_2) & u_{21m_1m_s}(x_2) & u_{21m'_1m'_s}(x_2) \\ \vdots & \vdots & \vdots & \vdots & \vdots & \vdots \\ u_{100\frac{1}{2}}(x_6) & u_{100-\frac{1}{2}}(x_6) & u_{200\frac{1}{2}}(x_6) & u_{200-\frac{1}{2}}(x_6) & u_{21m_1m_s}(x_6) & u_{21m'_1m'_s}(x_6) \end{vmatrix}$$

(3.2.33-b)

Burada $i=1,2,\dots,15$ dir. Bu determinantlar son iki sütunu yani yalnızca 5. ve 6. sütunları (bu sütunlar açık kabuklu iki tane elektronlardan oluşur) ile farklanırlar. Determinantların farklı olan bu kısımları $u(n\ell m_\ell m_s, n\ell m'_\ell m'_s)$ olarak çizelgelerde verilmektedir.

Önce Slater Yöntemine göre bağımsız determinant dalga fonksiyonları bulunacaktır:

$C(1s^2 2s^2 2p^2)$ durumu için Slater Yöntemi kullanılarak ilgili çizelge aşağıdaki biçimde hesaplanmıştır. $1s^2 2s^2$ dolu alt kabuklarla ilgilenilmez. Yalnızca $2p^2$ dolmamış alt kabuk ile ilgilenilir. Dolu alt kabuklar için $\mathbf{M}_L = \sum_i \mathbf{m}_{\ell_i} = \mathbf{0}$ ($\mathbf{m}_{\ell_i} : 0, \pm 1, \pm 2, \dots, \pm \ell$) ve $\mathbf{M}_S = \sum_i \mathbf{m}_{s_i} = \mathbf{0}$

($\mathbf{m}_{s_i} : \pm \frac{1}{2}$) olmasından dolayı, kapalı kabukların determinant dalga

fonksiyonlarının hepsine katkısı aynıdır. Başka bir deyişle determinant dalga fonksiyonlarının herbirinde önceki sütunlar aynıdır. Örneğin karbonun temel konfigürasyonundan bulunan determinant dalga fonksiyonlarının her birinin ilk dört sütunu aynıdır, yani bu determinatlar birbirinden sadece beşinci ve altıncı sütunları ile farklanırlar.

Bu dolmamış alt kabukta bulunan elektronların olası durumları, aşağıdaki Çizelge: 3.2.1'de verilmektedir.

Çizelge: 3.2.1 Karbonun Temel Durumunun Slater Yöntemine Göre

Hesaplanan Olası Bağımsız Determinant Fonksiyonları

| Satır No | m_ℓ | m_s | m'_ℓ | m'_s | M_L | M_s | $U_i(n\ell m_l m_s, n\ell m'_l m'_s)$ |
|----------|----------|-------|-----------|--------|-------|-------|---------------------------------------|
| 1 | 1 | 1/2 | 1 | 1/2 | 2 | 1 | U(211 1/2, 211 1/2) |
| 2 | 1 | 1/2 | 1 | -1/2 | 2 | 0 | U(211 1/2, 211 -1/2) |
| 3 | 1 | -1/2 | 1 | 1/2 | 2 | 0 | U(211 -1/2, 211 1/2) |
| 4 | 1 | -1/2 | 1 | -1/2 | 2 | -1 | U(211 -1/2, 211 -1/2) |
| 5 | 1 | 1/2 | 0 | 1/2 | 1 | 1 | U(211 1/2, 210 1/2) |
| 6 | 1 | 1/2 | 0 | -1/2 | 1 | 0 | U(211 1/2, 210 -1/2) |
| 7 | 1 | -1/2 | 0 | 1/2 | 1 | 0 | U(211 -1/2, 210 1/2) |
| 8 | 1 | -1/2 | 0 | -1/2 | 1 | -1 | U(211 -1/2, 210 -1/2) |
| 9 | 1 | 1/2 | -1 | 1/2 | 0 | 1 | U(211 1/2, 21-1 1/2) |
| 10 | 1 | 1/2 | -1 | -1/2 | 0 | 0 | U(211 1/2, 21-1 -1/2) |
| 11 | 1 | -1/2 | -1 | 1/2 | 0 | 0 | U(211 -1/2, 21-1 1/2) |
| 12 | 1 | -1/2 | -1 | -1/2 | 0 | -1 | U(211 -1/2, 21-1 -1/2) |
| 13 | 0 | 1/2 | 1 | 1/2 | 1 | 1 | U(210 1/2, 211 1/2) |
| 14 | 0 | 1/2 | 1 | -1/2 | 1 | 0 | U(210 1/2, 211 -1/2) |
| 15 | 0 | -1/2 | 1 | 1/2 | 1 | 0 | U(210 -1/2, 211 1/2) |
| 16 | 0 | -1/2 | 1 | -1/2 | 1 | -1 | U(210 -1/2, 211 -1/2) |
| 17 | 0 | 1/2 | 0 | 1/2 | 0 | 1 | U(210 1/2, 210 1/2) |
| 18 | 0 | 1/2 | 0 | -1/2 | 0 | 0 | U(210 1/2, 210 -1/2) |
| 19 | 0 | -1/2 | 0 | 1/2 | 0 | 0 | U(210 -1/2, 210 1/2) |
| 20 | 0 | -1/2 | 0 | -1/2 | 0 | -1 | U(210 -1/2, 210 -1/2) |
| 21 | 0 | 1/2 | -1 | 1/2 | -1 | 1 | U(210 1/2, 21-1 1/2) |
| 22 | 0 | 1/2 | -1 | -1/2 | -1 | 0 | U(210 1/2, 21-1 -1/2) |
| 23 | 0 | -1/2 | -1 | 1/2 | -1 | 0 | U(210 -1/2, 21-1 1/2) |
| 24 | 0 | -1/2 | -1 | -1/2 | -1 | -1 | U(210 -1/2, 21-1 -1/2) |
| 25 | -1 | 1/2 | 1 | 1/2 | 0 | 1 | U(21-1 1/2, 211 1/2) |

| | | | | | | | |
|----|----|--------|----|--------|----|----|-------------------------|
| 26 | -1 | 1 / 2 | 1 | -1 / 2 | 0 | 0 | U(21-1 1/2, 211 -1/2) |
| 27 | -1 | -1 / 2 | 1 | 1 / 2 | 0 | 0 | U(21-1 -1/2, 211 1/2) |
| 28 | -1 | -1 / 2 | 1 | -1 / 2 | 0 | -1 | U(21-1 -1/2, 211 -1/2) |
| 29 | -1 | 1 / 2 | 0 | 1 / 2 | -1 | 1 | U(21-1 1/2, 210 ½) |
| 30 | -1 | 1 / 2 | 0 | -1 / 2 | -1 | 0 | U(21-1 1/2, 210 -1/2) |
| 31 | -1 | -1 / 2 | 0 | 1 / 2 | -1 | 0 | U(21-1 -1/2, 210 1/2) |
| 32 | -1 | -1 / 2 | 0 | -1 / 2 | -1 | -1 | U(21-1 -1/2, 210 -1/2) |
| 33 | -1 | 1 / 2 | -1 | 1 / 2 | -2 | 1 | U(21-1 1/2, 21-1 1/2) |
| 34 | -1 | 1 / 2 | -1 | -1 / 2 | -2 | 0 | U(21-1 1/2, 21-1 -1/2) |
| 35 | -1 | -1 / 2 | -1 | 1 / 2 | -2 | 0 | U(21-1 -1/2, 21-1 1/2) |
| 36 | -1 | -1 / 2 | -1 | -1 / 2 | -2 | -1 | U(21-1 -1/2, 21-1 -1/2) |

Çizelge:3.2.1'den görüldüğü gibi birinci satırdaki U determinant dalga fonksiyonu sıfırda eşittir. Çünkü, determinantların özelliğine göre en az iki sütun birbirine eşit ise bu determinant sıfırdır. $U_1(211 \frac{1}{2}, 211 \frac{1}{2})$ 'de iki sütun birbirine eşittir.

Bunun gibi sıfırda eşit olan determinant dalga fonksiyonları atılır, geriye kalan kullanılır. Aynı olan (fakat işaretçe farklı olan) determinant dalga fonksiyonu bir kez yazılır. Bu durum karbon atomunun temel $1s^2 2s^2 2p^2$ konfigürasyonu için 15 tane ($f=15$) dir, yani 15 tane bağımsız determinant dalga fonksiyonu vardır.

Fakat böyle uğraşmak yerine bu tezde sunulan yeni yöntem (GUSEINOV, 1999) kolaylık sağlayacaktır. Bu yöntemle ilgili çizelge de verilmektedir.

Bu yöntemde de atomun sadece $2p^2$ dolmamış kabuğu dikkate alınır. Çizelge:3.2.3'deki U_1 için yazılacak istenildiğinde önce Çizelge:3.2.2'deki birinci sütunun birinci satırı yazılacak sonra ok işaretini takip edilerek ikinci sütunun ikinci satırı izlenecektir. Sonraki adımda Çizelge:3.2.3'deki U_2 için Çizelge:3.2.2'deki birinci sütunun birinci satırı yazılacak sonra ok işaretini

takip edilerek ikinci sütunun üçüncü satırı yazılacaktır. Sonraki adımlar buna benzer izlenmektedir. Çizelge:3.2.3'deki U_6 için Çizelge:3.2.2'deki birinci sütunun birinci satırı yazılacak sonra ok işaretini takip edilerek ikinci sütunun altıncı (son) satırı yazılacaktır.

Çizelge:3.2.3'deki U_4 için Çizelge:3.2.2'deki birinci sütunun ikinci satırı yazılacak sonra ok işaretini takip edilerek ikinci sütunun üçüncü satırı izlenecektir. Sonra Çizelge:3.2.3'deki U_7 için Çizelge:3.2.2'deki birinci sütunun ikinci satırı yazılacak sonra ok işaretini takip edilerek ikinci sütunun beşinci satırı izlenecektir.

Çizelge:3.2.3'de M_L ve M_S toplam manyetik ve spin kuantum sayılarının aynı değerleri için sıralama yapılmıştır. Örneğin $M_L=1$, $M_S=0$ değerlerine karşılık gelen iki tane determinant dalga fonksiyonları U_3 ve U_4 olarak yazılmıştır.

Çizelge:3.2.2 Bağımsız Determinant Fonksiyonları Bulma Yöntemi (Guseinov, 1999)'nin Karbonun Temel Durumu İçin Uygulanması

| m_ℓ | m_s | m'_ℓ | m'_s |
|----------|--------|-----------|--------|
| 1 | $1/2$ | 1 | $1/2$ |
| 1 | $-1/2$ | 1 | $-1/2$ |
| 0 | $1/2$ | 0 | $1/2$ |
| 0 | $-1/2$ | 0 | $-1/2$ |
| -1 | $1/2$ | -1 | $1/2$ |
| -1 | $-1/2$ | -1 | $-1/2$ |

Cizelge: 3.2.3 Karbonun Temel Durumunun Bağımsız Determinant Fonksiyonları Bulma Yöntemi (Guseinov, 1999)'ne Göre Hesaplanan Bağımsız Determinant Fonksiyonları

| Satır No | m_ℓ | m_s | m'_ℓ | m'_s | M_L | M_s | $U_i(\dots n \ell m_l m_s, n \ell m'_l m'_s)$ |
|----------|----------|-------|-----------|--------|-------|-------|---|
| 1 | 1 | 1/2 | 1 | -1/2 | 2 | 0 | $U_1(\dots 211 1/2, 211 -1/2)$ |
| 2 | 1 | 1/2 | 0 | 1/2 | 1 | 1 | $U_2(\dots 211 1/2, 210 1/2)$ |
| 3 | 1 | 1/2 | 0 | -1/2 | 1 | 0 | $U_3(\dots 211 1/2, 210 -1/2)$ |
| 4 | 1 | 1/2 | -1 | 1/2 | 0 | 1 | $U_5(\dots 211 1/2, 21-1 1/2)$ |
| 5 | 1 | 1/2 | -1 | -1/2 | 0 | 0 | $U_6(\dots 211 1/2, 21-1 -1/2)$ |
| 6 | 1 | -1/2 | 0 | 1/2 | 1 | 0 | $U_4(\dots 211 -1/2, 210 1/2)$ |
| 7 | 1 | -1/2 | 0 | -1/2 | 1 | -1 | $U_9(\dots 211 -1/2, 210 -1/2)$ |
| 8 | 1 | -1/2 | -1 | 1/2 | 0 | 0 | $U_7(\dots 211 -1/2, 21-1 1/2)$ |
| 9 | 1 | -1/2 | -1 | -1/2 | 0 | -1 | $U_{10}(\dots 211 -1/2, 21-1 -1/2)$ |
| 10 | 0 | 1/2 | 0 | -1/2 | 0 | 0 | $U_8(\dots 210 1/2, 210 -1/2)$ |
| 11 | 0 | 1/2 | -1 | 1/2 | -1 | 1 | $U_{11}(\dots 210 1/2, 21-1 1/2)$ |
| 12 | 0 | 1/2 | -1 | -1/2 | -1 | 0 | $U_{12}(\dots 210 1/2, 21-1 -1/2)$ |
| 13 | 0 | -1/2 | -1 | 1/2 | -1 | 0 | $U_{13}(\dots 210 -1/2, 21-1 1/2)$ |
| 14 | 0 | -1/2 | -1 | -1/2 | -1 | -1 | $U_{14}(\dots 210 -1/2, 21-1 -1/2)$ |
| 15 | -1 | 1/2 | -1 | -1/2 | -2 | 0 | $U_{15}(\dots 21-1 1/2, 21-1 -1/2)$ |

Guseinov yöntemi örneğin karbonun $1s^2 2s^1 2p^3$ uyarılmış durumuna uygulandığında da, zaman kaybını önlediği açık olarak görülmektedir.

Çizelge:3.2.3'ün en sağ sütununda U determinantlarının farklı beş ve altıncı sütunlarındaki atom spin-orbitalleri gösterilmiştir. Bu çizelgede ki M_L ve M_S , açık 2p kabuğunda bulunan elektronların toplam manyetik ve spin kuantum sayılarını göstermektedir. Yani $\mathbf{M}_L = \mathbf{m}_\ell + \mathbf{m}'_\ell$, $\mathbf{M}_S = \mathbf{m}_S + \mathbf{m}'_S$ dir.

Çizelge:3.2.2'de 2p açık kabuğunda varolan her bir elektron için (\mathbf{m}_ℓ , \mathbf{m}_S) ve (\mathbf{m}'_ℓ , \mathbf{m}'_S) kuantum sayılarının tüm değerleri verilmektedir.

Çizelge:3.2.3'ten yararlanarak $1s^2 2s^2 2p^2$ elektron konfigürasyonundan elde edilen farklı terimler bulunmalıdır. M_L ve M_S aynı değerlere sahipse bu değerlerin sayısı kadar "mikro" durum vardır. Böylece Çizelge:3.2.3 kullanılarak

$$\Psi_{M_L M_S}^{LS} = \sum_i \mathbf{a}_i \mathbf{U}_i \quad (3.2.34)$$

lineer kombinasyonları bulunmalıdır.

$M_L=2$ ve $M_S=0$ değerlerinin sayısının bir tane olmasından dolayı sadece bir tane $L=2$ ve $S=0$ değeri olasıdır (yani "mikro" durumların sayısı bir tanedir). Böylece $1s^2 2s^2 2p^2$ elektron konfigürasyonundan ${}^1\mathbf{D}$ terimi ve $\Psi_{20}^{20} = \mathbf{U}_1$ determinant dalga fonksiyonu bulunmaktadır.

Şimdi alçaltıcı operatörler için geçerli olan

$$(\hat{\mathbf{L}}_x - i\hat{\mathbf{L}}_y) \Psi_{M_L M_S}^{LS} = \sqrt{L(L+1) - M_L(M_L-1)} \Psi_{M_{L-1} M_S}^{LS} \quad (3.2.35)$$

formülünden (CANSOY, 1994) yararlanarak $^1\mathbf{D}$ teriminin öteki dalga fonksiyonlarını bulmak olasıdır. Böylece $^1\mathbf{D}$ teriminin öteki dalga fonksiyonları için aşağıdaki ifadeler kolaylıkla bulunabilir:

$^1\mathbf{D}$ için:

$$\left. \begin{array}{l} \Psi_{20}^{20} = \mathbf{U}_1 \\ \Psi_{10}^{20} = \frac{1}{\sqrt{2}}(\mathbf{U}_3 - \mathbf{U}_4) \\ \Psi_{00}^{20} = \frac{1}{\sqrt{6}}(\mathbf{U}_6 - \mathbf{U}_7 + 2\mathbf{U}_8) \\ \Psi_{-10}^{20} = \frac{1}{\sqrt{2}}(\mathbf{U}_{12} - \mathbf{U}_{13}) \\ \Psi_{-20}^{20} = \mathbf{U}_{15} \end{array} \right\} \quad (3.2.36)$$

Benzer şekilde hesaplamalar yapılarak $L=1$ ve $S=1$ kuantum sayılarına karşılık gelen $^3\mathbf{P}$ teriminin dalga fonksiyonları kolaylıkla bulunabilir:

3P için:

$$\left. \begin{array}{l} \Psi_{11}^{11} = U_2 \\ \Psi_{10}^{11} = \frac{1}{\sqrt{2}}(U_3 + U_4) \\ \Psi_{1-1}^{11} = U_9 \\ \Psi_{01}^{11} = U_5 \\ \Psi_{00}^{11} = \frac{1}{\sqrt{2}}(U_6 + U_7) \\ \Psi_{0-1}^{11} = U_{10} \\ \Psi_{-11}^{11} = U_{11} \\ \Psi_{-10}^{11} = \frac{1}{\sqrt{2}}(U_{12} + U_{13}) \\ \Psi_{-1-1}^{11} = U_{14} \end{array} \right\} \quad (3.2.37)$$

(3.2.36) ve (3.2.37) formüllerinden görüldüğü gibi sayısı üç tane olan $M_L=0$ ve $M_S=0$ mikro durumlardan ikisi 1D ve 3P terimlerinde dikkate alınmıştır. Bu nedenle geriye kalan bir tane mikro durum, 1S teriminin dalga fonksiyonunu verecektir. Yani

$$\Psi_{00}^{00} = aU_6 + bU_7 + cU_8 \quad (3.2.38)$$

olacaktır. Buradaki a , b , c katsayıları, terimlerin dalga fonksiyonlarının ortonormalilik özelliğinden bulunabilir (bkz: (3.2.31) denklemi):

$$\int \Psi_{00}^{00*} \Psi_{00}^{00} d\tau = a^2 + b^2 + c^2 = 1 , \quad (3.2.39)$$

$$\int \Psi_{00}^{00*} \Psi_{00}^{20} d\tau = \frac{1}{\sqrt{6}} (\mathbf{a} - \mathbf{b} + 2\mathbf{c}) = \mathbf{0} \quad \text{ve} \quad (3.2.40)$$

$$\int \Psi_{00}^{00*} \Psi_{00}^{11} d\tau = \frac{1}{\sqrt{2}} (\mathbf{a} + \mathbf{b}) = \mathbf{0} \quad (3.2.41)$$

Bu denklemlerden

$$\mathbf{a} = \frac{1}{\sqrt{3}}, \quad \mathbf{c} = -\frac{1}{\sqrt{3}}, \quad \mathbf{b} = -\frac{1}{\sqrt{3}} \quad (3.2.42)$$

olduğu kolaylıkla bulunabilir. Böylece (3.2.42)'deki sabitler (3.2.38)'de yerine konulursa 1S teriminin dalga fonksiyonu elde edilmiş olunur:

1S :

$$\Psi_{00}^{00} = \frac{1}{\sqrt{3}} (\mathbf{U}_6 - \mathbf{U}_7 - \mathbf{U}_8) \quad (3.2.43)$$

Aynı mantıkla karbon atomunun uyarılmış $1s^2$ $2s^1$ $2p^3$ elektron konfigürasyonu durumu için enerji seviyeleri dikkate alınarak küçükten büyüğe doğru yazılmak üzere 5S , 3D , 3P , 3S , 1D ve 1P terim sembollerini yazılabılır.

Yine yukarıda anlatılan yollar izlenerek Çizelge:3.2.2 ve Çizelge:3.2.3 benzeri uyarılmış karbon atomu için de aşağıda Çizelge: 3.2.4 ve Çizelge: 3.2.5 oluşturulmuştur.

Cizelge:3.2.4 Bağımsız Determinant Fonksiyonları Bulma Yöntemi

(Guseinov, 1999)'nin Karbonun Uyarılmış Durumu İçin Uygulanması

| m_ℓ | m_s | m'_ℓ | m'_s | m''_ℓ | m''_s | m'''_ℓ | m'''_s |
|----------|----------------|-----------|----------------|------------|----------------|-------------|----------------|
| 0 | $\frac{1}{2}$ | 1 | $\frac{1}{2}$ | 1 | $\frac{1}{2}$ | 1 | $\frac{1}{2}$ |
| 0 | $\frac{1}{2}$ | 1 | $-\frac{1}{2}$ | 1 | $-\frac{1}{2}$ | 1 | $-\frac{1}{2}$ |
| 0 | $\frac{1}{2}$ | 0 | $\frac{1}{2}$ | 0 | $\frac{1}{2}$ | 0 | $\frac{1}{2}$ |
| 0 | $\frac{1}{2}$ | 0 | $-\frac{1}{2}$ | 0 | $-\frac{1}{2}$ | 0 | $-\frac{1}{2}$ |
| 0 | $\frac{1}{2}$ | -1 | $\frac{1}{2}$ | -1 | $\frac{1}{2}$ | -1 | $\frac{1}{2}$ |
| 0 | $\frac{1}{2}$ | -1 | $-\frac{1}{2}$ | -1 | $-\frac{1}{2}$ | -1 | $-\frac{1}{2}$ |
| 0 | $-\frac{1}{2}$ | 1 | $\frac{1}{2}$ | 1 | $\frac{1}{2}$ | 1 | $\frac{1}{2}$ |
| 0 | $-\frac{1}{2}$ | 1 | $-\frac{1}{2}$ | 1 | $-\frac{1}{2}$ | 1 | $-\frac{1}{2}$ |
| 0 | $-\frac{1}{2}$ | 0 | $\frac{1}{2}$ | 0 | $\frac{1}{2}$ | 0 | $\frac{1}{2}$ |
| 0 | $-\frac{1}{2}$ | 0 | $-\frac{1}{2}$ | 0 | $-\frac{1}{2}$ | 0 | $-\frac{1}{2}$ |
| 0 | $-\frac{1}{2}$ | -1 | $\frac{1}{2}$ | -1 | $\frac{1}{2}$ | -1 | $\frac{1}{2}$ |
| 0 | $-\frac{1}{2}$ | -1 | $-\frac{1}{2}$ | -1 | $-\frac{1}{2}$ | -1 | $-\frac{1}{2}$ |

Cizelge:3.2.5 Karbonun Uyarılmış Durumunun Bağımsız Determinant

Fonksiyonları Bulma Yöntemi (Guseinov,1999)'ne Göre Hesaplanan

Bağımsız Determinant Fonksiyonları

| Satır No | m_ℓ | m_s | m'_ℓ | m'_s | m''_ℓ | m''_s | m'''_ℓ | m'''_s | M_L | M_s | $U_i(n \ell m_l m_s, n \ell m'_l m'_s)$ |
|-------------|----------|---------------|-----------|---------------|------------|----------------|-------------|----------------|-------|-------|---|
| 1 | 0 | $\frac{1}{2}$ | 1 | $\frac{1}{2}$ | 1 | $-\frac{1}{2}$ | 0 | $\frac{1}{2}$ | 2 | 1 | $U_1(\dots 2001/2, 2111/2, 211-1/2, 2101/2)$ |
| 2 | 0 | $\frac{1}{2}$ | 1 | $\frac{1}{2}$ | 1 | $-\frac{1}{2}$ | 0 | $-\frac{1}{2}$ | 2 | 0 | $U_2(\dots 2001/2, 2111/2, 211-1/2, 210-1/2)$ |
| 3 | 0 | $\frac{1}{2}$ | 1 | $\frac{1}{2}$ | 1 | $-\frac{1}{2}$ | -1 | $\frac{1}{2}$ | 1 | 1 | $U_4(\dots 2001/2, 2111/2, 211-1/2, 21-11/2)$ |
| 4 | 0 | $\frac{1}{2}$ | 1 | $\frac{1}{2}$ | 1 | $-\frac{1}{2}$ | -1 | $-\frac{1}{2}$ | 1 | 0 | $U_6(\dots 2001/2, 2111/2, 211-1/2, 21-1-1/2)$ |
| 5 | 0 | $\frac{1}{2}$ | 1 | $\frac{1}{2}$ | 0 | $\frac{1}{2}$ | 0 | $-\frac{1}{2}$ | 1 | 1 | $U_5(\dots 2001/2, 2111/2, 2101/2, 210-1/2)$ |
| 6 | 0 | $\frac{1}{2}$ | 1 | $\frac{1}{2}$ | 0 | $\frac{1}{2}$ | -1 | $\frac{1}{2}$ | 0 | 2 | $U_{10}(\dots 2001/2, 2111/2, 2101/2, 21-11/2)$ |

| | | | | | | | | | | | |
|----|---|----------------|---|----------------|----|----------------|----|----------------|----|----|---|
| 7 | 0 | $\frac{1}{2}$ | 1 | $\frac{1}{2}$ | 0 | $\frac{1}{2}$ | -1 | $-\frac{1}{2}$ | 0 | 1 | $U_{11}(\dots 2001/2, 2111/2, 2101/2, 21-1-1/2)$ |
| 8 | 0 | $-\frac{1}{2}$ | 1 | $-\frac{1}{2}$ | 0 | $-\frac{1}{2}$ | -1 | $\frac{1}{2}$ | 0 | 1 | $U_{12}(\dots 2001/2, 2111/2, 210-1/2, 21-11/2)$ |
| 9 | 0 | $\frac{1}{2}$ | 1 | $\frac{1}{2}$ | 0 | $-\frac{1}{2}$ | -1 | $-\frac{1}{2}$ | 0 | 0 | $U_{15}(\dots 2001/2, 2111/2, 210-1/2, 21-1-1/2)$ |
| 10 | 0 | $\frac{1}{2}$ | 1 | $\frac{1}{2}$ | -1 | $\frac{1}{2}$ | -1 | $-\frac{1}{2}$ | -1 | 1 | $U_{21}(\dots 2001/2, 2111/2, 21-11/2, 21-1-1/2)$ |
| 11 | 0 | $\frac{1}{2}$ | 1 | $-\frac{1}{2}$ | 0 | $\frac{1}{2}$ | 0 | $-\frac{1}{2}$ | 1 | 0 | U_7 |
| 12 | 0 | $\frac{1}{2}$ | 1 | $-\frac{1}{2}$ | 0 | $\frac{1}{2}$ | -1 | $\frac{1}{2}$ | 0 | 1 | U_{13} |
| 13 | 0 | $\frac{1}{2}$ | 1 | $-\frac{1}{2}$ | 0 | $\frac{1}{2}$ | -1 | $-\frac{1}{2}$ | 0 | 0 | U_{16} |
| 14 | 0 | $\frac{1}{2}$ | 1 | $-\frac{1}{2}$ | 0 | $-\frac{1}{2}$ | -1 | $\frac{1}{2}$ | 0 | 0 | U_{17} |
| 15 | 0 | $\frac{1}{2}$ | 1 | $-\frac{1}{2}$ | 0 | $-\frac{1}{2}$ | -1 | $-\frac{1}{2}$ | 0 | -1 | U_{23} |
| 16 | 0 | $\frac{1}{2}$ | 1 | $-\frac{1}{2}$ | -1 | $\frac{1}{2}$ | -1 | $-\frac{1}{2}$ | -1 | 0 | U_{27} |
| 17 | 0 | $\frac{1}{2}$ | 0 | $\frac{1}{2}$ | 0 | $-\frac{1}{2}$ | -1 | $\frac{1}{2}$ | -1 | 1 | U_{22} |
| 18 | 0 | $\frac{1}{2}$ | 0 | $\frac{1}{2}$ | 0 | $-\frac{1}{2}$ | -1 | $-\frac{1}{2}$ | -1 | 0 | U_{28} |
| 19 | 0 | $\frac{1}{2}$ | 0 | $\frac{1}{2}$ | -1 | $\frac{1}{2}$ | -1 | $-\frac{1}{2}$ | -2 | 1 | U_{31} |
| 20 | 0 | $\frac{1}{2}$ | 0 | $-\frac{1}{2}$ | -1 | $\frac{1}{2}$ | -1 | $-\frac{1}{2}$ | -2 | 0 | U_{32} |
| 21 | 0 | $-\frac{1}{2}$ | 1 | $\frac{1}{2}$ | 1 | $-\frac{1}{2}$ | 0 | $\frac{1}{2}$ | 2 | 0 | U_3 |
| 22 | 0 | $-\frac{1}{2}$ | 1 | $\frac{1}{2}$ | 1 | $-\frac{1}{2}$ | 0 | $-\frac{1}{2}$ | 2 | -1 | U_{34} |
| 23 | 0 | $-\frac{1}{2}$ | 1 | $\frac{1}{2}$ | 1 | $-\frac{1}{2}$ | -1 | $\frac{1}{2}$ | 1 | 0 | U_8 |
| 24 | 0 | $-\frac{1}{2}$ | 1 | $\frac{1}{2}$ | 1 | $-\frac{1}{2}$ | -1 | $-\frac{1}{2}$ | 1 | -1 | U_{35} |
| 25 | 0 | $-\frac{1}{2}$ | 1 | $\frac{1}{2}$ | 0 | $\frac{1}{2}$ | 0 | $-\frac{1}{2}$ | 1 | 0 | U_9 |
| 26 | 0 | $-\frac{1}{2}$ | 1 | $\frac{1}{2}$ | 0 | $\frac{1}{2}$ | -1 | $\frac{1}{2}$ | 0 | 1 | U_{14} |
| 27 | 0 | $-\frac{1}{2}$ | 1 | $\frac{1}{2}$ | 0 | $\frac{1}{2}$ | -1 | $-\frac{1}{2}$ | 0 | 0 | U_{18} |
| 28 | 0 | $-\frac{1}{2}$ | 1 | $\frac{1}{2}$ | 0 | $-\frac{1}{2}$ | -1 | $\frac{1}{2}$ | 0 | 0 | U_{19} |
| 29 | 0 | $-\frac{1}{2}$ | 1 | $\frac{1}{2}$ | 0 | $-\frac{1}{2}$ | -1 | $-\frac{1}{2}$ | 0 | -1 | U_{24} |
| 30 | 0 | $-\frac{1}{2}$ | 1 | $\frac{1}{2}$ | -1 | $\frac{1}{2}$ | -1 | $-\frac{1}{2}$ | -1 | 0 | U_{29} |
| 31 | 0 | $-\frac{1}{2}$ | 1 | $-\frac{1}{2}$ | 0 | $\frac{1}{2}$ | 0 | $-\frac{1}{2}$ | 1 | -1 | U_{36} |
| 32 | 0 | $-\frac{1}{2}$ | 1 | $-\frac{1}{2}$ | 0 | $\frac{1}{2}$ | -1 | $\frac{1}{2}$ | 0 | 0 | U_{20} |
| 33 | 0 | $-\frac{1}{2}$ | 1 | $-\frac{1}{2}$ | 0 | $\frac{1}{2}$ | -1 | $-\frac{1}{2}$ | 0 | -1 | U_{25} |
| 34 | 0 | $-\frac{1}{2}$ | 1 | $-\frac{1}{2}$ | 0 | $-\frac{1}{2}$ | -1 | $\frac{1}{2}$ | 0 | -1 | U_{26} |
| 35 | 0 | $-\frac{1}{2}$ | 1 | $-\frac{1}{2}$ | 0 | $-\frac{1}{2}$ | -1 | $-\frac{1}{2}$ | 0 | -2 | U_{37} |
| 36 | 0 | $-\frac{1}{2}$ | 1 | $-\frac{1}{2}$ | -1 | $\frac{1}{2}$ | -1 | $-\frac{1}{2}$ | -1 | -1 | U_{38} |
| 37 | 0 | $-\frac{1}{2}$ | 0 | $\frac{1}{2}$ | 0 | $-\frac{1}{2}$ | -1 | $\frac{1}{2}$ | -1 | 0 | U_{30} |
| 38 | 0 | $-\frac{1}{2}$ | 0 | $\frac{1}{2}$ | 0 | $-\frac{1}{2}$ | -1 | $-\frac{1}{2}$ | -1 | -1 | U_{39} |
| 39 | 0 | $-\frac{1}{2}$ | 0 | $\frac{1}{2}$ | -1 | $\frac{1}{2}$ | -1 | $-\frac{1}{2}$ | -2 | 0 | U_{33} |
| 40 | 0 | $-\frac{1}{2}$ | 0 | $-\frac{1}{2}$ | -1 | $\frac{1}{2}$ | -1 | $-\frac{1}{2}$ | -2 | -1 | U_{40} |

| | | | | | | | | | | | |
|----|---|----------------|---|----------------|----|----------------|----|----------------|----|----|---|
| 7 | 0 | $\frac{1}{2}$ | 1 | $\frac{1}{2}$ | 0 | $\frac{1}{2}$ | -1 | $-\frac{1}{2}$ | 0 | 1 | $U_{11}(\dots 2001/2, 2111/2, 2101/2, 21-1-1/2)$ |
| 8 | 0 | $\frac{1}{2}$ | 1 | $\frac{1}{2}$ | 0 | $-\frac{1}{2}$ | -1 | $\frac{1}{2}$ | 0 | 1 | $U_{12}(\dots 2001/2, 2111/2, 210-1/2, 21-11/2)$ |
| 9 | 0 | $\frac{1}{2}$ | 1 | $\frac{1}{2}$ | 0 | $-\frac{1}{2}$ | -1 | $-\frac{1}{2}$ | 0 | 0 | $U_{15}(\dots 2001/2, 2111/2, 210-1/2, 21-1-1/2)$ |
| 10 | 0 | $\frac{1}{2}$ | 1 | $\frac{1}{2}$ | -1 | $\frac{1}{2}$ | -1 | $-\frac{1}{2}$ | -1 | 1 | $U_{21}(\dots 2001/2, 2111/2, 21-11/2, 21-1-1/2)$ |
| 11 | 0 | $\frac{1}{2}$ | 1 | $-\frac{1}{2}$ | 0 | $\frac{1}{2}$ | 0 | $-\frac{1}{2}$ | 1 | 0 | U_7 |
| 12 | 0 | $\frac{1}{2}$ | 1 | $-\frac{1}{2}$ | 0 | $\frac{1}{2}$ | -1 | $\frac{1}{2}$ | 0 | 1 | U_{13} |
| 13 | 0 | $\frac{1}{2}$ | 1 | $-\frac{1}{2}$ | 0 | $\frac{1}{2}$ | -1 | $-\frac{1}{2}$ | 0 | 0 | U_{16} |
| 14 | 0 | $\frac{1}{2}$ | 1 | $-\frac{1}{2}$ | 0 | $-\frac{1}{2}$ | -1 | $\frac{1}{2}$ | 0 | 0 | U_{17} |
| 15 | 0 | $\frac{1}{2}$ | 1 | $-\frac{1}{2}$ | 0 | $-\frac{1}{2}$ | -1 | $-\frac{1}{2}$ | 0 | -1 | U_{23} |
| 16 | 0 | $\frac{1}{2}$ | 1 | $-\frac{1}{2}$ | -1 | $\frac{1}{2}$ | -1 | $-\frac{1}{2}$ | -1 | 0 | U_{27} |
| 17 | 0 | $\frac{1}{2}$ | 0 | $\frac{1}{2}$ | 0 | $-\frac{1}{2}$ | -1 | $\frac{1}{2}$ | -1 | 1 | U_{22} |
| 18 | 0 | $\frac{1}{2}$ | 0 | $\frac{1}{2}$ | 0 | $-\frac{1}{2}$ | -1 | $-\frac{1}{2}$ | -1 | 0 | U_{28} |
| 19 | 0 | $\frac{1}{2}$ | 0 | $\frac{1}{2}$ | -1 | $\frac{1}{2}$ | -1 | $-\frac{1}{2}$ | -2 | 1 | U_{31} |
| 20 | 0 | $\frac{1}{2}$ | 0 | $-\frac{1}{2}$ | -1 | $\frac{1}{2}$ | -1 | $-\frac{1}{2}$ | -2 | 0 | U_{32} |
| 21 | 0 | $-\frac{1}{2}$ | 1 | $\frac{1}{2}$ | 1 | $-\frac{1}{2}$ | 0 | $\frac{1}{2}$ | 2 | 0 | U_3 |
| 22 | 0 | $-\frac{1}{2}$ | 1 | $\frac{1}{2}$ | 1 | $-\frac{1}{2}$ | 0 | $-\frac{1}{2}$ | 2 | -1 | U_{34} |
| 23 | 0 | $-\frac{1}{2}$ | 1 | $\frac{1}{2}$ | 1 | $-\frac{1}{2}$ | -1 | $\frac{1}{2}$ | 1 | 0 | U_8 |
| 24 | 0 | $-\frac{1}{2}$ | 1 | $\frac{1}{2}$ | 1 | $-\frac{1}{2}$ | -1 | $-\frac{1}{2}$ | 1 | -1 | U_{35} |
| 25 | 0 | $-\frac{1}{2}$ | 1 | $\frac{1}{2}$ | 0 | $\frac{1}{2}$ | 0 | $-\frac{1}{2}$ | 1 | 0 | U_9 |
| 26 | 0 | $-\frac{1}{2}$ | 1 | $\frac{1}{2}$ | 0 | $\frac{1}{2}$ | -1 | $\frac{1}{2}$ | 0 | 1 | U_{14} |
| 27 | 0 | $-\frac{1}{2}$ | 1 | $\frac{1}{2}$ | 0 | $\frac{1}{2}$ | -1 | $-\frac{1}{2}$ | 0 | 0 | U_{18} |
| 28 | 0 | $-\frac{1}{2}$ | 1 | $\frac{1}{2}$ | 0 | $-\frac{1}{2}$ | -1 | $\frac{1}{2}$ | 0 | 0 | U_{19} |
| 29 | 0 | $-\frac{1}{2}$ | 1 | $\frac{1}{2}$ | 0 | $-\frac{1}{2}$ | -1 | $-\frac{1}{2}$ | 0 | -1 | U_{24} |
| 30 | 0 | $-\frac{1}{2}$ | 1 | $\frac{1}{2}$ | -1 | $\frac{1}{2}$ | -1 | $-\frac{1}{2}$ | -1 | 0 | U_{29} |
| 31 | 0 | $-\frac{1}{2}$ | 1 | $-\frac{1}{2}$ | 0 | $\frac{1}{2}$ | 0 | $-\frac{1}{2}$ | 1 | -1 | U_{36} |
| 32 | 0 | $-\frac{1}{2}$ | 1 | $-\frac{1}{2}$ | 0 | $\frac{1}{2}$ | -1 | $\frac{1}{2}$ | 0 | 0 | U_{20} |
| 33 | 0 | $-\frac{1}{2}$ | 1 | $-\frac{1}{2}$ | 0 | $\frac{1}{2}$ | -1 | $-\frac{1}{2}$ | 0 | -1 | U_{25} |
| 34 | 0 | $-\frac{1}{2}$ | 1 | $-\frac{1}{2}$ | 0 | $-\frac{1}{2}$ | -1 | $\frac{1}{2}$ | 0 | -1 | U_{26} |
| 35 | 0 | $-\frac{1}{2}$ | 1 | $-\frac{1}{2}$ | 0 | $-\frac{1}{2}$ | -1 | $-\frac{1}{2}$ | 0 | -2 | U_{37} |
| 36 | 0 | $-\frac{1}{2}$ | 1 | $-\frac{1}{2}$ | -1 | $\frac{1}{2}$ | -1 | $-\frac{1}{2}$ | -1 | -1 | U_{38} |
| 37 | 0 | $-\frac{1}{2}$ | 0 | $\frac{1}{2}$ | 0 | $-\frac{1}{2}$ | -1 | $\frac{1}{2}$ | -1 | 0 | U_{30} |
| 38 | 0 | $-\frac{1}{2}$ | 0 | $\frac{1}{2}$ | 0 | $-\frac{1}{2}$ | -1 | $-\frac{1}{2}$ | -1 | -1 | U_{39} |
| 39 | 0 | $-\frac{1}{2}$ | 0 | $\frac{1}{2}$ | -1 | $\frac{1}{2}$ | -1 | $-\frac{1}{2}$ | -2 | 0 | U_{33} |
| 40 | 0 | $-\frac{1}{2}$ | 0 | $-\frac{1}{2}$ | -1 | $\frac{1}{2}$ | -1 | $-\frac{1}{2}$ | -2 | -1 | U_{40} |

Aynı yöntemle burada uyarılmış karbon için terim sembollerinin Ψ dalga fonksiyonları yazılabilir. Burada sadece 5S en düşük enerji düzeyli terim sembolü için karşı gelen Ψ dalga fonksiyonları yazılacaktır.

$$\left. \begin{aligned} \Psi_{02}^{02} &= U_{10} \\ \Psi_{01}^{02} &= \frac{1}{2}(U_{11} + U_{12} + U_{13} + U_{14}) \\ \text{5S için: } \Psi_{00}^{02} &= \frac{1}{\sqrt{6}}(U_{15} + U_{16} + U_{17} + U_{18} + U_{19} + U_{20}) \\ \Psi_{0-1}^{02} &= \frac{1}{2}(U_{23} + U_{24} + U_{25} + U_{26}) \\ \Psi_{0-2}^{02} &= U_{37} \end{aligned} \right\}$$

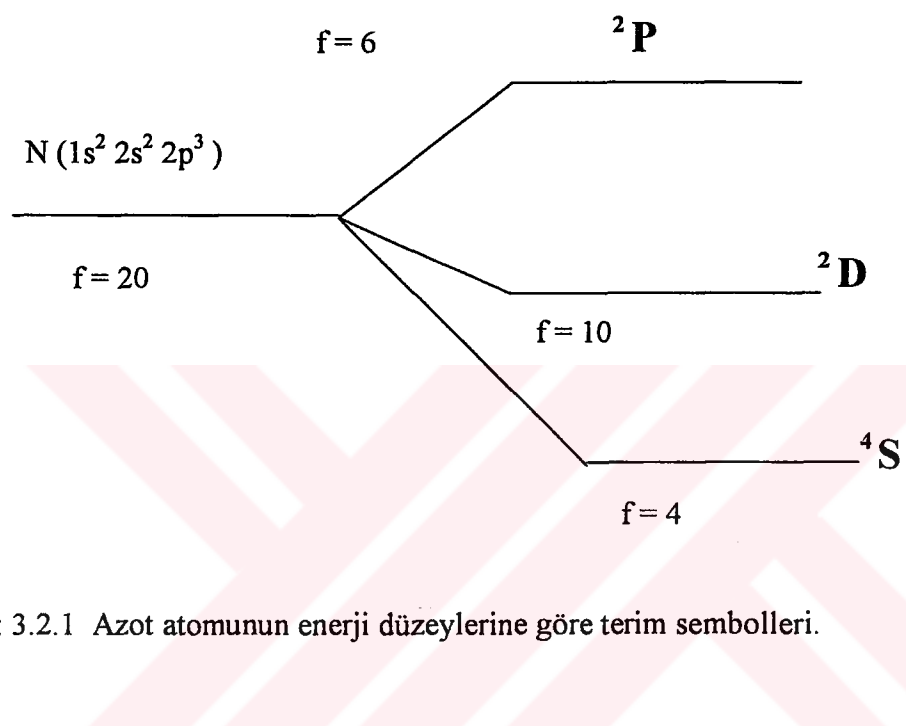
(3.2.44)

Aynı yöntem, azot atomunun temel $1s^2 \ 2s^2 \ 2p^3$ elektron konfigürasyonuna uygulanmış ve sonuçlar Çizelge 3.2.6'da verilmiştir.

Cizelge:3.2.6 Azotun Temel Durumunun Bağımsız Determinant Fonksiyonları Bulma Yöntemi (Guseinov,1999)'ne Göre Hesaplanan Bağımsız Determinant Fonksiyonları

| Satır No | $m_\ell \ m_s$ | $m'_\ell \ m'_s$ | $m''_\ell \ m''_s$ | M_L | M_S | $U_i(n\ell m_l m_s, n\ell m_l' m_s')$ |
|----------|-----------------|------------------|--------------------|-------|---------------|--|
| 1 | 1 $\frac{1}{2}$ | 1 $-\frac{1}{2}$ | 0 $\frac{1}{2}$ | 2 | $\frac{1}{2}$ | $U_1(\dots 211\frac{1}{2}, 211-1/2, 210\frac{1}{2})$ |
| 2 | 1 $\frac{1}{2}$ | 1 $-\frac{1}{2}$ | 0 $-\frac{1}{2}$ | 2 | $-1/2$ | $U_2(\dots 211\frac{1}{2}, 211-1/2, 210-1/2)$ |
| 3 | 1 $\frac{1}{2}$ | 1 $-\frac{1}{2}$ | -1 $\frac{1}{2}$ | 1 | $\frac{1}{2}$ | $U_3(\dots 211\frac{1}{2}, 211-1/2, 21-11/2)$ |
| 4 | 1 $\frac{1}{2}$ | 1 $-\frac{1}{2}$ | -1 $-\frac{1}{2}$ | 1 | $-1/2$ | U_5 |
| 5 | 1 $\frac{1}{2}$ | 0 $\frac{1}{2}$ | 0 $-\frac{1}{2}$ | 1 | $\frac{1}{2}$ | U_4 |

| | | | | | | | | | |
|----|---|----------------|----|----------------|----|----------------|----|----------------|----------|
| 6 | 1 | $\frac{1}{2}$ | 0 | $\frac{1}{2}$ | -1 | $\frac{1}{2}$ | 0 | $\frac{3}{2}$ | U_7 |
| 7 | 1 | $\frac{1}{2}$ | 0 | $\frac{1}{2}$ | -1 | $-\frac{1}{2}$ | 0 | $\frac{1}{2}$ | U_{17} |
| 8 | 1 | $\frac{1}{2}$ | 0 | $-\frac{1}{2}$ | -1 | $\frac{1}{2}$ | 0 | $\frac{1}{2}$ | U_{23} |
| 9 | 1 | $\frac{1}{2}$ | 0 | $-\frac{1}{2}$ | -1 | $-\frac{1}{2}$ | 0 | $-\frac{1}{2}$ | U_{27} |
| 10 | 1 | $\frac{1}{2}$ | -1 | $\frac{1}{2}$ | -1 | $-\frac{1}{2}$ | -1 | $\frac{1}{2}$ | U_{22} |
| 11 | 1 | $-\frac{1}{2}$ | 0 | $\frac{1}{2}$ | 0 | $-\frac{1}{2}$ | 1 | $-\frac{1}{2}$ | U_{28} |
| 12 | 1 | $-\frac{1}{2}$ | 0 | $\frac{1}{2}$ | -1 | $\frac{1}{2}$ | 0 | $\frac{1}{2}$ | U_{31} |
| 13 | 1 | $-\frac{1}{2}$ | 0 | $\frac{1}{2}$ | -1 | $-\frac{1}{2}$ | 0 | $-\frac{1}{2}$ | U_{32} |
| 14 | 1 | $-\frac{1}{2}$ | 0 | $-\frac{1}{2}$ | -1 | $\frac{1}{2}$ | 0 | $-\frac{1}{2}$ | U_3 |
| 15 | 1 | $-\frac{1}{2}$ | 0 | $-\frac{1}{2}$ | -1 | $-\frac{1}{2}$ | 0 | $-\frac{3}{2}$ | U_{34} |
| 16 | 1 | $-\frac{1}{2}$ | -1 | $\frac{1}{2}$ | -1 | $-\frac{1}{2}$ | -1 | $-\frac{1}{2}$ | U_8 |
| 17 | 0 | $\frac{1}{2}$ | 0 | $-\frac{1}{2}$ | -1 | $\frac{1}{2}$ | -1 | $\frac{1}{2}$ | U_{35} |
| 18 | 0 | $\frac{1}{2}$ | 0 | $-\frac{1}{2}$ | -1 | $-\frac{1}{2}$ | -1 | $-\frac{1}{2}$ | U_9 |
| 19 | 0 | $\frac{1}{2}$ | -1 | $\frac{1}{2}$ | -1 | $-\frac{1}{2}$ | -2 | $\frac{1}{2}$ | U_{14} |
| 20 | 0 | $-\frac{1}{2}$ | -1 | $\frac{1}{2}$ | -1 | $-\frac{1}{2}$ | -2 | $-\frac{1}{2}$ | U_{18} |



Şekil: 3.2.1 Azot atomunun enerji düzeylerine göre terim sembollerleri.

$$^{2S+1}\{L\}_J$$

Yukardaki enerji düzeyi diyagramı şu şekilde işaretlenebilir: Hund Kuralına göre önce çokluklarına bakılır: Çokluğu ($2S+1$) maksimum olan terimin enerjisi minimumudur (bu durumda 4S dir). Sonra ise çoklukları aynı olan terimler arasında L 'si maksimum olanın enerjisi minimumudur. Çoklukları ve L 'si aynı olanlar arasında ise J 'si maksimum olanın enerjisi minimumdur.

Yani özetle maksimum olanlar minimum enerjili olur.

Azot atomunun $1s^2 2s^2 2p^3$ elektron konfigürasyonundan bulunan temel 4S teriminin dalga fonksiyonları aşağıdaki biçimde hesaplanabilir:

$$\begin{aligned} \Psi_{0\frac{3}{2}}^{\frac{3}{2}} &= U_7 \\ \Psi_{0\frac{1}{2}}^{\frac{3}{2}} &= \frac{1}{\sqrt{3}}(U_8 + U_9 + U_{10}) \\ \Psi_{0-\frac{1}{2}}^{\frac{3}{2}} &= \frac{1}{\sqrt{3}}(U_{11} + U_{12} + U_{13}) \\ \Psi_{0-\frac{3}{2}}^{\frac{3}{2}} &= U_{16} \end{aligned} \quad \left. \right\} \quad (3.2.45)$$

4S için:

Yukarda anlatılan yöntemle azot atomunun 2D terim simbolü için aşağıdaki Ψ dalga fonksiyonu aşağıdaki biçimde bulunabilir:

$$\left. \begin{aligned}
 \Psi_{2\frac{1}{2}}^{2\frac{1}{2}} &= \mathbf{U}_1 \\
 \Psi_{1\frac{1}{2}}^{2\frac{1}{2}} &= \frac{1}{\sqrt{2}}(\mathbf{U}_3 - \mathbf{U}_4) \\
 \Psi_{0\frac{1}{2}}^{2\frac{1}{2}} &= \frac{1}{\sqrt{6}}(-\mathbf{U}_8 + 2\mathbf{U}_9 - \mathbf{U}_{10}) \\
 \Psi_{-1\frac{1}{2}}^{2\frac{1}{2}} &= \frac{1}{\sqrt{2}}(-\mathbf{U}_{14} + \mathbf{U}_{15}) \\
 \Psi_{-2\frac{1}{2}}^{2\frac{1}{2}} &= -\mathbf{U}_{19} \\
 \Psi_{2-\frac{1}{2}}^{2\frac{1}{2}} &= \mathbf{U}_2 \\
 \Psi_{1-\frac{1}{2}}^{2\frac{1}{2}} &= \frac{1}{\sqrt{2}}(\mathbf{U}_5 - \mathbf{U}_6) \\
 \Psi_{0-\frac{1}{2}}^{2\frac{1}{2}} &= \frac{1}{\sqrt{6}}(\mathbf{U}_{11} - 2\mathbf{U}_{12} + \mathbf{U}_{13}) \\
 \Psi_{-1-\frac{1}{2}}^{2\frac{1}{2}} &= \frac{1}{\sqrt{2}}(-\mathbf{U}_{17} + \mathbf{U}_{18}) \\
 \Psi_{-2-\frac{1}{2}}^{2\frac{1}{2}} &= -\mathbf{U}_{20}
 \end{aligned} \right\} \quad (3.2.46)$$

Aynı yöntemle azot atomunun ^2P terim simbolü için de 6 tane Ψ dalga fonksiyonu bulunabilir.

4.ARAŞTIRMA BULGULARI

4.1 KARBON VE AZOT İÇİN ÇİFTLENİM-İZDÜŞÜM

KATSAYILARININ HESAPLANMASI VE BİLGİSAYAR UYGULAMASI

4.1.1 Karbon ve Azot Açık Kabuklu Atomları İçin Çiftlenim-İzdüşüm A_{kl}^{ij} ve B_{kl}^{ij} Katsayılarının Hesaplanması

Bu bölümde karbon ve azot atomları için ikinci bölümde bulunan terimlerin dalga fonksiyonlarından yararlanarak Çiftlenim-İzdüşüm katsayıları bulunacaktır. Kuantum mekanığının bilinen teoremlerine göre atomun elektron konfigürasyonlarından bulunan enerjisi, M_L ve M_S kuantum sayılarına bağlı değildir. Yani terimin enerjisi L ve S kuantum sayılarına bağlıdır. Açık kabuklu sistemin HF ve HFR teorisine göre Çiftlenim-İzdüşüm katsayıları, terimin dalga fonksiyonları arasında eşit dağıtılmalıdır. Bundan dolayı toplam kuantum sayıları L ve S olan terimin enerjisini, dalga fonksiyonları arasında yazılan eşitliği dikkate almak için,

$$E(LS) = \frac{1}{(2L+1)(2S+1)} \sum_{M_L=-L}^L \sum_{M_S=-S}^S \int \Psi_{M_L M_S}^{LS} * \hat{H} \Psi_{M_L M_S}^{LS} d\tau \quad (4.1.1)$$

olarak kabul etmek gereklidir (ROOTHAN, 1960).

(4.1.1) formülünden faydalananlarak Çiftlenim-İzdüşüm katsayılarının 3.2 bölümünde yazılan özellikleri karbon atomunun $1s^2 2s^2 2p^2$ elektron konfigürasyonundan bulunan en düşük enerjili 3P terimine uygulanabilir. İşlemler sonucu, 3P teriminin enerjisi için

$$\begin{aligned}
E(1s^2 2s^2 2p^2, ^3P) = & \left(2H_1 + 2H_2 + \frac{2}{3}H_3 + \frac{2}{3}H_4 + \frac{2}{3}H_5 \right) + \\
& (2J_{11}^{11} - K_{11}^{11}) + 2(2J_{22}^{11} - K_{22}^{11}) + \frac{2}{3}(2J_{33}^{11} - K_{33}^{11}) + \\
& \frac{2}{3}(2J_{44}^{11} - K_{44}^{11}) + \frac{2}{3}(2J_{55}^{11} - K_{55}^{11}) + (2J_{22}^{22} - K_{22}^{22}) + \\
& \frac{2}{3}(2J_{33}^{22} - K_{33}^{22}) + \frac{2}{3}(2J_{44}^{22} - K_{44}^{22}) + \frac{2}{3}(2J_{55}^{22} - K_{55}^{22}) + \\
& \frac{1}{3}(J_{44}^{33} - K_{44}^{33}) + \frac{1}{3}(J_{55}^{33} - K_{55}^{33}) + \frac{1}{3}(J_{55}^{44} - K_{55}^{44})
\end{aligned}
\tag{4.1.2}$$

formül ifadesi bulunur.

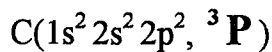
Şimdi Çiftlenim-İzdüşüm katsayılarını bulmak amacıyla (4.1.2) ifadesinde kullanılabilir. Bu durumda, enerji için (3.2.1) ifadesine benzer formül bulunur. Yani (3.2.1) formülünde bulunan A_{kl}^{ij} ve B_{kl}^{ij} katsayılarının özellikleri dikkate alınmış olunur:

$$\begin{aligned}
E(1s^2 2s^2 2p^2, ^3P) = & \left(2H_1 + 2H_2 + \frac{2}{3}H_3 + \frac{2}{3}H_4 + \frac{2}{3}H_5 \right) + \\
& (2J_{11}^{11} - K_{11}^{11}) + 2(J_{22}^{11} - K_{22}^{11}) + \frac{2}{3}(2J_{33}^{11} - K_{33}^{11}) + \\
& \frac{2}{3}(2J_{44}^{11} - K_{44}^{11}) + \frac{2}{3}(2J_{55}^{11} - K_{55}^{11}) + (2J_{22}^{22} - K_{22}^{22}) + \\
& \frac{2}{3}(2J_{33}^{22} - K_{33}^{22}) + \frac{2}{3}(2J_{44}^{22} - K_{44}^{22}) + \frac{2}{3}(2J_{55}^{22} - K_{55}^{22}) + \\
& \left[\left(\frac{1}{12} 2J_{44}^{33} - \frac{1}{6} K_{44}^{33} \right) + \left(\frac{1}{12} 2J_{33}^{44} - \frac{1}{6} K_{33}^{44} \right) \right] + \\
& \left[\left(\frac{1}{12} 2J_{55}^{33} - \frac{1}{6} K_{55}^{33} \right) + \left(\frac{1}{12} 2J_{33}^{55} - \frac{1}{6} K_{33}^{55} \right) \right] + \\
& \left[\left(\frac{1}{12} 2J_{55}^{44} - \frac{1}{6} K_{55}^{44} \right) + \left(\frac{1}{12} 2J_{44}^{55} - \frac{1}{6} K_{44}^{55} \right) \right]
\end{aligned} \tag{4.1.3}$$

(4.1.3) formülü (3.2.1) ve (3.2.2) ile kıyaslanarak Çiftlenim-İzdüşüm katsayıları bulunur. Kapalı-kapalı, kapalı-açık, açık-kapalı kabuklardaki elektronların durumlarında, (3.2.2) formülü geçerlidir. Açık-açık durumunda ise (4.1.3) formülünden bu katsayılar bulunur.

Sonuç olarak Çiftlenim-İzdüşüm katsayılarının bu çalışmada hesaplanan sayısal değerleri Çizelge:4.1.1'de verilmektedir.

Çizelge: 4.1.1 Karbonun Temel Durumu ve ${}^3\text{P}$ Terim Sembolü İçin
Hesaplanan Çiftlenim-İzdüşüm Katsayıları



| | | |
|--|--|---|
| Kapalı Alt Kabuk $1s^2$ | $\mathbf{A}_{11}^{11} = 1$ | $\mathbf{B}_{11}^{11} = 1$ |
| Kapalı Alt Kabuk $2s^2$ | $\mathbf{A}_{22}^{22} = 1$ | $\mathbf{B}_{22}^{22} = 1$ |
| Kapalı Alt Kabuk $1s^2 +$ Kapalı Alt Kabuk $2s^2$ | $\mathbf{A}_{22}^{11} = \mathbf{A}_{11}^{22} = 1$ | $\mathbf{B}_{22}^{11} = \mathbf{B}_{11}^{22} = 1$ |
| X | | |
| Kapalı Alt Kabuk $1s^2 +$ Açık Alt Kabuk $2p^2$ | $\mathbf{A}_{33}^{11} = \mathbf{A}_{11}^{33} = \frac{2}{6}$ $\mathbf{A}_{44}^{11} = \mathbf{A}_{11}^{44} = \frac{2}{6}$ $\mathbf{A}_{55}^{11} = \mathbf{A}_{11}^{55} = \frac{2}{6}$ | $\mathbf{B}_{33}^{11} = \mathbf{B}_{11}^{33} = \frac{2}{6}$ $\mathbf{B}_{44}^{11} = \mathbf{B}_{11}^{44} = \frac{2}{6}$ $\mathbf{B}_{55}^{11} = \mathbf{B}_{11}^{55} = \frac{2}{6}$ |
| Kapalı Alt Kabuk $2s^2 +$ Açık Alt Kabuk $2p^2$ | $\mathbf{A}_{33}^{22} = \mathbf{A}_{22}^{33} = \frac{2}{6}$ $\mathbf{A}_{44}^{22} = \mathbf{A}_{22}^{44} = \frac{2}{6}$ $\mathbf{A}_{55}^{22} = \mathbf{A}_{22}^{55} = \frac{2}{6}$ | $\mathbf{B}_{33}^{22} = \mathbf{B}_{22}^{33} = \frac{2}{6}$ $\mathbf{B}_{44}^{22} = \mathbf{B}_{22}^{44} = \frac{2}{6}$ $\mathbf{B}_{55}^{22} = \mathbf{B}_{22}^{55} = \frac{2}{6}$ |
| Açık Alt Kabuk $2p^2$ | $\mathbf{A}_{44}^{33} = \mathbf{A}_{33}^{44} = \frac{1}{12}$ $\mathbf{A}_{55}^{33} = \mathbf{A}_{33}^{55} = \frac{1}{12}$ $\mathbf{A}_{55}^{44} = \mathbf{A}_{44}^{55} = \frac{1}{12}$ | $\mathbf{B}_{44}^{33} = \mathbf{B}_{33}^{44} = \frac{1}{6}$ $\mathbf{B}_{55}^{33} = \mathbf{B}_{33}^{55} = \frac{1}{6}$ $\mathbf{B}_{55}^{44} = \mathbf{B}_{44}^{55} = \frac{1}{6}$ |

Benzer işlemler yapılarak karbon atomunun uyarılmış $1s^2$ $2s^1$ $2p^3$ elektron konfigürasyonundan bulunan en düşük enerji seviyeli 5S terimi için A_{kl}^{ij} ve B_{kl}^{ij} katsayılarının bu çalışmada hesaplanan değerleri Çizelge:4.1.2'de verilmiştir.

Cizelge: 4.1.2 Karbonun Uyarılmış Durumu ve 5S Terim Sembolü İçin
Hesaplanan Çiftlenim-İzdüşüm Katsayıları

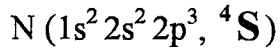
C ($1s^2 2s^1 2p^3, ^5S$)

| | | |
|--|---|---|
| Kapalı Alt Kabuk $1s^2$ | $A_{11}^{11} = 1$ | $B_{11}^{11} = 1$ |
| Kapalı Alt Kabuk $1s^2 +$ Açık Alt Kabuk $2s^1$ | $A_{22}^{11} = A_{11}^{22} = \frac{1}{2}$ | $B_{22}^{11} = B_{11}^{22} = \frac{1}{2}$ |
| Kapalı Alt Kabuk $1s^2 +$ Açık Alt Kabuk $2p^3$ | $A_{33}^{11} = A_{11}^{33} = \frac{3}{6}$ $A_{44}^{11} = A_{11}^{44} = \frac{3}{6}$ $A_{55}^{11} = A_{11}^{55} = \frac{3}{6}$ | $B_{33}^{11} = B_{11}^{33} = \frac{3}{6}$ $B_{44}^{11} = B_{11}^{44} = \frac{3}{6}$ $B_{55}^{11} = B_{11}^{55} = \frac{3}{6}$ |
| Açık Alt Kabuk $2s^1 +$ Açık Alt Kabuk $2p^3$ | $A_{33}^{22} = A_{22}^{33} = \frac{1}{4}$ $A_{44}^{22} = A_{22}^{44} = \frac{1}{4}$ $A_{55}^{22} = A_{22}^{55} = \frac{1}{4}$ | $B_{33}^{22} = B_{22}^{33} = \frac{1}{2}$ $B_{44}^{22} = B_{22}^{44} = \frac{1}{2}$ $B_{55}^{22} = B_{22}^{55} = \frac{1}{2}$ |
| Açık Alt Kabuk $2p^3$ | $A_{44}^{33} = A_{33}^{44} = \frac{1}{4}$ $A_{55}^{33} = A_{33}^{55} = \frac{1}{4}$ $A_{55}^{44} = A_{44}^{55} = \frac{1}{4}$ | $B_{44}^{33} = B_{33}^{44} = \frac{1}{2}$ $B_{55}^{33} = B_{33}^{55} = \frac{1}{2}$ $B_{55}^{44} = B_{44}^{55} = \frac{1}{2}$ |

Aynı yöntemle azot atomunun temel $1s^2 \ 2s^2 \ 2p^3$ elektron konfigürasyonundan bulunan en düşük enerji seviyeli 4S terimi için A_{kl}^{ij} ve B_{kl}^{ij} katsayılarının bu çalışmada hesaplanan değerleri Çizelge: 4.1.3'de verilmiştir.



Çizelge: 4.1.3 Azotun Temel Durumu ve 4S Terim Sembolü İçin
Hesaplanan Çiftlenim-İzdüşüm Katsayıları



| | | |
|--|---|---|
| Kapalı Alt Kabuk $1s^2$ | $A_{11}^{11} = 1$ | $B_{11}^{11} = 1$ |
| Kapalı Alt Kabuk $2s^2$ | $A_{22}^{22} = 1$ | $B_{22}^{22} = 1$ |
| Kapalı Alt Kabuk $1s^2 +$ Kapalı Alt Kabuk $2s^2$ | $A_{22}^{11} = A_{11}^{22} = 1$ | $B_{22}^{11} = B_{11}^{22} = 1$ |
| Kapalı Alt Kabuk $1s^2 +$ Açık Alt Kabuk $2p^3$ | $A_{33}^{11} = A_{11}^{33} = \frac{3}{6}$ $A_{44}^{11} = A_{11}^{44} = \frac{3}{6}$ $A_{55}^{11} = A_{11}^{55} = \frac{3}{6}$ | $B_{33}^{11} = B_{11}^{33} = \frac{3}{6}$ $B_{44}^{11} = B_{11}^{44} = \frac{3}{6}$ $B_{55}^{11} = B_{11}^{55} = \frac{3}{6}$ |
| Kapalı Alt Kabuk $2s^2 +$ Açık Alt Kabuk $2p^3$ | $A_{33}^{22} = A_{22}^{33} = \frac{3}{6}$ $A_{44}^{22} = A_{22}^{44} = \frac{3}{6}$ $A_{55}^{22} = A_{22}^{55} = \frac{3}{6}$ | $B_{33}^{22} = B_{22}^{33} = \frac{3}{6}$ $B_{44}^{22} = B_{22}^{44} = \frac{3}{6}$ $B_{55}^{22} = B_{22}^{55} = \frac{3}{6}$ |
| Açık Alt Kabuk $2p^3$ | $A_{44}^{33} = A_{33}^{44} = \frac{1}{4}$ $A_{55}^{33} = A_{33}^{55} = \frac{1}{4}$ $A_{55}^{44} = A_{44}^{55} = \frac{1}{4}$ | $B_{44}^{33} = B_{33}^{44} = \frac{1}{2}$ $B_{55}^{33} = B_{33}^{55} = \frac{1}{2}$ $B_{55}^{44} = B_{44}^{55} = \frac{1}{2}$ |

Bundan sonraki alt bölümde azot atomu için Çizelge: 4.1.3'de verilen A_{kl}^{ij} ve B_{kl}^{ij} katsayılarının değerlerinden faydalananarak HFR denklemleri bir bilgisayar programı kullanılarak çözülmüştür.

4.1.2 Azot Atomunun Temel Durumu İçin HFR Denklemlerinin Sayısal Çözümü

Açık kabuklu atom ve moleküller için HFR denklemlerinin bilgisayarda çözümü için bilgisayar programı vardır. Bu programa önkoşullar olarak atomun periyodik tablodaki numarası (Z), elektronlarının sayısı (N) ve Çiftlenim-İzdüşüm sabitleri programa girilir. Azot için Z=7, N=7 değerleri ve Çiftlenim-İzdüşüm katsayılarının Çizelge: 4.1.3'deki değerlerinden yararlanılır. Kullanılan program sonucu olarak azot atomunun orbital enerjileri ve atom orbitallerinin Slater orbitalleri bazında hesaplanmış C_{p_i} lineer kombinasyon katsayıları elde edilmiştir. Sonuçlar Çizelge: 4.1.4'de verilmiştir.

Cizelge: 4.1.4 Azotun Temel Durumu İçin Turbo-Pascal 7.0 Diliyle Yazılmış Bilgisayar Programından Bulunan Lineer Kombinasyon Katsayıları

Cizelge: 4.1.4.a Açık kabuklu azot atomu [$N(1s^2 2s^2 2p^3) (^2P)$] için lineer kombinasyon sabitleri ve atomik enerji değerleri

| | | | | | |
|--------------|------------|-------------|------------|-------------|-------------|
| ϵ_i | -15.676226 | -0.86873201 | -0.2639832 | -0.22034108 | -0.12316354 |
| | C_{p1} | C_{p2} | C_{p3} | C_{p4} | C_{p5} |

| | | | | | |
|----|------------|------------|------------|------------|------------|
| 1s | 0.99915072 | -0.2027468 | 0.00000000 | 0.00000000 | 0.00000000 |
|----|------------|------------|------------|------------|------------|

| | | | | | |
|----|------------|-----------|------------|------------|------------|
| 2s | 0.00431561 | 1.0195046 | 0.00000000 | 0.00000000 | 0.00000000 |
|----|------------|-----------|------------|------------|------------|

| | | | | | |
|-----------------|------------|------------|------------|------------|------------|
| 2p _x | 0.00000000 | 0.00000000 | 0.00000000 | 1.00000000 | 0.00000000 |
|-----------------|------------|------------|------------|------------|------------|

| | | | | | |
|-----------------|------------|------------|------------|------------|------------|
| 2p _y | 0.00000000 | 0.00000000 | 1.00000000 | 0.00000000 | 0.00000000 |
|-----------------|------------|------------|------------|------------|------------|

| | | | | | |
|-----------------|------------|------------|------------|------------|------------|
| 2p _z | 0.00000000 | 0.00000000 | 0.00000000 | 0.00000000 | 1.00000000 |
|-----------------|------------|------------|------------|------------|------------|

E = -54.010966418 Hartree T = 52.148768 Hartree V = -106.15973223 Hartree Virial = -2.0366

Cizelge: 4.1.4.b Açık kabuklu azot atomu [$N(1s^2 2s^2 2p^3) (^2D)$] için lineer kombinasyon sabitleri ve atomik enerji değerleri

| | | | | | |
|--------------|-------------|-------------|-------------|-------------|-------------|
| ϵ_i | -15.6762268 | -0.86873201 | -0.21893107 | -0.21470107 | -0.21470107 |
| | C_{p1} | C_{p2} | C_{p3} | C_{p4} | C_{p5} |

| | | | | | |
|----|------------|------------|------------|------------|------------|
| 1s | 0.99915072 | -0.2027468 | 0.00000000 | 0.00000000 | 0.00000000 |
|----|------------|------------|------------|------------|------------|

| | | | | | |
|----|------------|-----------|------------|------------|------------|
| 2s | 0.00431561 | 1.0195046 | 0.00000000 | 0.00000000 | 0.00000000 |
|----|------------|-----------|------------|------------|------------|

| | | | | | |
|-----------------|------------|------------|------------|------------|------------|
| 2p _x | 0.00000000 | 0.00000000 | 0.00000000 | 1.00000000 | 0.00000000 |
|-----------------|------------|------------|------------|------------|------------|

| | | | | | |
|-----------------|------------|------------|------------|------------|------------|
| 2p _y | 0.00000000 | 0.00000000 | 1.00000000 | 0.00000000 | 0.00000000 |
|-----------------|------------|------------|------------|------------|------------|

| | | | | | |
|-----------------|------------|------------|------------|------------|------------|
| 2p _z | 0.00000000 | 0.00000000 | 0.00000000 | 0.00000000 | 1.00000000 |
|-----------------|------------|------------|------------|------------|------------|

E = -54.05181 Hartree T = 52.148876 Hartree V = -106.200577 Hartree Virial = -2.0364

Çizelge: 4.1.4.c Açık kabuklu azot atomu [$N(1s^2 2s^2 2p^3)$] için lineer kombinasyon sabitleri ve atomik enerji değerleri

ϵ_i -15.676226 -0.86873201 -0.2696911 -0.2696911 -0.2696911

| | C_{p1} | C_{p2} | C_{p3} | C_{p4} | C_{p5} |
|-----------------|------------|------------|------------|------------|------------|
| 1s | 0.99915072 | -0.2027468 | 0.00000000 | 0.00000000 | 0.00000000 |
| 2s | 0.00431561 | 1.0195046 | 0.00000000 | 0.00000000 | 0.00000000 |
| 2p _x | 0.00000000 | 0.00000000 | 0.00000000 | 1.00000000 | 0.00000000 |
| 2p _y | 0.00000000 | 0.00000000 | 1.00000000 | 0.00000000 | 0.00000000 |
| 2p _z | 0.00000000 | 0.00000000 | 0.00000000 | 0.00000000 | 1.00000000 |

E = -54.2125497 Hartree T = 52.148769 Hartree V = -106.361317 Hartree Virial = -2.0396

Çizelge: 4.1.4.a, b ve c 'de azot atomunun 2P , 2D ve 4S terimleri için orbital enerjileri ve C_{p_i} katsayılarının bu çalışmada hesaplanan değerleri verilmektedir. Bu çizelgelerde 1s, 2s, 2p_x, 2p_y, 2p_z Slater atom orbitallerini göstermektedir. Bu çizelgelerin son satırındaki sayılar, toplam enerji kinetik ve potansiyel enerji değerlerini ve Virial katsayısını göstermektedir. Virial katsayısının doğru olmasını, yani hesaplamaların doğru olmasını, gösteren sonuçlar bulunmuştur. Şöyledi, Virial Teoremine göre, Coulomb alanında hareket eden elektronlar sisteminin kinetik ve potansiyel enerjilerinin ortalama değerlerinin birbirine oranı 2 olmalıdır. Çizelgelerden görüldüğü gibi Slater atom orbitallerinin sayısının az olmasından dolayı Virial katsayıyı yaklaşık olarak sağlanmaktadır. Slater atom orbitallerinin sayısını artırmakla Virial katsayısının daha iyi sağlanmasıını bulmak mümkündür. Yapılan bu tezde Çiftlenim-İzdüşüm katsayılarından faydalananarak açık kabuklu atomlar için HFR denklemlerinin çözümünün sağlandığı gösterilmektedir.

5. TARTIŞMA VE SONUÇ

Atomun hesaplamadan bulunan enerjisinin hassasiyetini artırmak için Slater baz fonksiyonlarının (u_i 'lerin) sayısı artırılmalı ve HFR denklemlerini çözerken enerjinin hassasiyetini sınamak için her zaman Virial katsayısından yararlanılmalıdır.

Elektron konfigürasyonundan bağımsız determinant dalga fonksiyonlarını (U_i 'leri) bulmak için bu tezde sunulan Guseinov (GUSEINOV, 1999) yöntemi kolaylık sağlayacaktır. Çiftlenim-İzdüşüm sabitleri kullanılarak HFR denklemlerinin çözümünden bulunan atom orbitallerinin ifadelerinden yararlanarak atomun çeşitli özellikleri bulunabilir.

John C. SLATER'in Quantum Theory of Atomic Structure isimli temel kitabındaki bilgilerle, çalışmalar uygunluk göstermiştir.

Sunulan bu tezde açık kabuklu karbon ve azot atomlarının temel elektron konfigürasyonları için determinant dalga fonksiyonları bulunmuştur. Determinant dalga fonksiyonlarının lineer kombinasyonlarından \hat{L}^2 , \hat{L}_z , \hat{S}^2 ve \hat{S}_z operatörlerinin özfonsiyonları elde edilmiştir.

Yukarıdaki elde edilen özfonsiyonlardan yararlanarak karbon ve azot atomlarının temel terimlerinin enerjisi hesaplanmıştır. Hesaplanan bu enerji kullanılarak HFR denklemlerde bulunan Çiftlenim-İzdüşüm sabitleri elde edilmiştir.

Çiftlenim-İzdüşüm katsayılarından faydalananarak azot atomunun temel terimi için HFR denklemleri çözülmüş yani elektronların orbital enerjileri ve atom orbitalleri bulunmuştur.

Burada anlatılanlar moleküller için de geçerlidir.

6. ÖZET

Çok elektronlu atom ve moleküllerin kuantum teorisinde baz fonksiyonlarından yararlanılır. Literatürde baz fonksiyonları olarak Slater Atom Orbitalleri (AO) kullanılır. Slater Atom Orbitallerini içeren çok merkezli integrallerin hesaplanması ortaya çıkan zorluklardan dolayı Gauss Orbitallerinden faydalanylabilir. Bundan dolayı atom ve molekülün kuantum mekanığında, araştırmacılar Gauss fonksiyonlarını kullanmak zorunda kalmışlardır. Ancak son zamanlarda Slater Atom Orbitallerini içeren çok merkezli integrallerin hesaplanmasıındaki yeni gelişmeler bu fonksiyonlardan yararlanmayı yeniden gerektirmiştir. Bu nedenle sunulan bu tezde Slater Atom Orbitalleri baz fonksiyonları olarak kullanılmıştır.

Atom ve moleküllerin fiziksel özelliklerini incelemek için önce Hartree-Fock-Roothaan (HFR) denklemlerini çözerek atom ve moleküller orbitallerin Slater Fonksiyonlarına göre lineer kombinasyon katsayılarını bulmak gerekmektedir. Bunun için önce açık kabuklu herhangi bir sistemin Çiftlenim-İzdüşüm (Coupling-İzdüşüm) Katsayıları hesaplanmıştır.

7. SUMMARY

In quantum theory of atoms and molecules with having many electron, the basic functions are used. In literature, Slater Atomic Orbitals are used as basic functions. Because of calculation's difficulties in multicenter integrals over Slater Atomic Orbital, Gaussian Orbital can be used. Therefore, researchers had had to use Gaussian functions in atomic and molecular. However, because of recent changes in calculations of multicenter integrals over Slater Atomic Orbital, it is needed that these functions are used again. For that reason, Slater atomic orbitals are used as basic functions in this presented thesis.

In order to analyze the physical characteristics of atom and molecules, firstly linear combinations coefficients must be defined in accordance with molecular orbitals defined from the solution of Hartree-Fock-Roothaan equations.

For this purpose, firstly Coupling-Projection coefficients must be determined for any open shell system.

8. KAYNAKLAR

- 1) AYGÜN, E., ZENGİN, D.M., 1992. Atom ve Molekül Fiziği. Ankara Üniversitesi Fen Fakültesi, Ankara.
- 2) BRANSDEN, B.H., JOACHAIN, C.J., 1989. Atom ve Molekül Fiziği. Ondokuz Mayıs Üniversitesi, Samsun.
- 3) CANSOY, Ç., 1994. Kuantum Mekaniği-I. İstanbul Üniversitesi Fen Fakültesi, İstanbul.
- 4) DICKE, R.H., WITTKE, J.P., 1993. Kuantum Fiziği. Erciyes Üniversitesi, Kayseri.
- 5) GASIOROWICZ, S., 1991. Kuantum Fiziği. Ankara Üniversitesi Fen Fakültesi, Ankara.
- 6) GUSEINOV, I.I., 1997. Evaluation of multielectron molecular integrals over Slater-type orbitals using binomial coefficients. *Journal of Molecular Structure (Theochem)*, 417, 117-121.
- 7) GUSEINOV, I.I., 1998 a. Matrix Elements of Multi-Electron Operator in Restricted Hartree-Fock Theory. *Journal of Molecular Structure (Theochem)*, 422, 75-78.
- 8) GUSEINOV, I.I., 1998 b. Restricted open shell Hartree-Fock Theory. *Journal of Molecular Structure (Theochem)*, 422, 69-73.
- 9) GUSEINOV, I.I., 1999. Özel Haberleşme.
- 10) KÖKSAL, F., 1992. Fenciler İçin Kuantum Kimyası. Ondokuz Mayıs Üniversitesi, Samsun.
- 11) ROOTHAAN, C.C.J., 1951. New Developments in Molecular Orbital Theory. *Rev. Mod. Phys.*, 23, 69.
- 12) ROOTHAAN, C.C.J., 1960. Self-Consistent Field Theory for Open Shells of Electronic Systems. *Rev. Mod. Phys.*, 32, 179.
- 13) SLATER, J.C., 1960. Quantum Theory of Atomic Structure. McGraw-Hill Book Company, Inc., New York.

14) TUNALI N.K., ÖZKÂR S., 1993. Anorganik Kimya. Gazi
Üniversitesi Fen-Edebiyat Fakültesi, Ankara.



TEŞEKKÜR

Tez Danışmanım Prof.Dr. İsrafil HÜSEYİN(GUSEINOV)'e ilgi ve
desteğinden dolayı teşekkür ederim.



ÖZGEÇMIŞ

1966 yılında Ereğli'de doğdu. İlk ve orta öğrenimini aynı yerde tamamladı.

1983 yılında Hacette Üniveritesi Fizik Eğitimi Bölümünü kazandı. Bir yıl Yabancı Dil Hazırlık Sınıfından sonra 1988'de mezun oldu.

1988-1996 arası Ankara Çankaya Anadolu Lisesi'nde Fizik Öğretmeni olarak çalıştı.

1995 yılında Gazi Üniversitesi Fen Bilimleri Enstitüsü Fizik Anabilim Dalı Yüksek Lisans programına kayıt oldu. 1999 yılında Çanakkale Onsekiz Mart Üniversitesi Fen Bilimleri Enstitüsüne yatay geçiş yaptı.

1996'da Çanakkale Onsekiz Mart Üniversitesi Fen-Edebiyat Fakültesi Fizik Bölümünde Araştırma Görevlisi olarak çalışmaya başladı. Hâlen aynı yerde çalışmaktadır.